

RÉPUBLIQUE DU SÉNÉGAL



ÉCOLE POLYTECHNIQUE DE THIÈS

PROJET  
DE  
FIN D'ÉTUDES

GC.0417

Titre LATERITE MATERIAU DE CONSTRUCTION  
(Phase 4)

Auteur Antoine J.-M. DIALLO  
Mamadou GUEYE

Génie CIVIL

Date JUIN 1983

Ecole Polytechnique de Thies

Département de Génie Civil

Projet de Fin d'Etudes

Titre: LATERITE  
Matière de Construction  
(Phase 4)

Auteurs: Antoine J-M DIALLO  
Mamadou GUEYE

Directeur: Mr Roger LUPIEN

- MAI 1983 -

*A nos parents, professeurs  
et amis*

Antoine J.-M. DIALLO

Mamadou  
GUEYÈ

## Remerciements

Nous commençons par exprimer notre reconnaissance à tous ceux qui, de près ou de loin, ont contribué à la réalisation de ce projet, et plus particulièrement

- M<sup>r</sup> Roger LUPRIN, notre directeur de projet, professeur de Béton et de Structures à l'école polytechnique de Thiers, qui a grandement facilité notre travail par ses conseils et ses idées

- M<sup>r</sup> Nicholas Moliontovitch, responsable des laboratoires de béton et de mécanique des sols à l'E.P.T., qui grâce à son expérience nous a été d'un grand apport pour la réalisation des essais

## Sommaire

Le but de cette étude est de confirmer les résultats qui ont été obtenus les années précédentes. En fait il s'agit de la résistance à la compression simple des cylindres standards et des briques en latérite stabilisé avec 6% de ciment et l'influence de certains paramètres sur cette résistance. Des tests complémentaires ont été effectués pour déterminer les résistances à la compression simple des cylindres ayant subi une immersion de 7 jours. Enfin une étude structurale du toit choisi (coupoles) a été faite pour déterminer la nature et la valeur des efforts qui s'y exercent; l'ébauche d'une étude sur les méthodes de construction et sur la forme des briques a été faite. Après ces études la conclusion que se dégage est que la construction d'une habitation usagère entièrement en latérite stabilisé est possible mais néanmoins pour tous les projets allant dans ce sens une étude paraît nécessaire.



## TABLE DES MATIERES

	Page
<u>chapitre 1      Introduction</u>	— — — — —
1.1 But	— — — — —
1.2 Définitions-objectifs de la stabilisation	2
1.3 Objectif de notre étude	2
<u>chapitre 2      Revue de la documentation</u>	4
2.1 préambule	4
2.2 état des recherches sur les sols stabilisés	5
2.3 re projet de l'E.P.T	7
<u>chapitre 3      Essais géotechniques</u>	14
3.1 densité optimale	14
3.2 essais géotechniques proprement dit	16
3.2.1 Analyse granulométrique	16
3.2.2 limites d'atteleage	20
3.2.3 essais proctor	21
<u>chapitre 4      Méthodologie de travail</u>	22
4.1 mélange	22
4.1.1 laitance	22
4.1.2 sable	22
4.1.3 ciment	23
4.1.4 eau de gachage	23
4.2 confection des cylindres standards	24
4.3 confection des briques	25

<b>4.4</b>	<b>Essais réalisés sur les cylindres et les briques</b>	<b>27</b>
4.4.1	compression simple sur échan-	
	tillons secs	27
4.4.2	compression simple sur échan-	
	tillons immergés	28
4.4.3	erosion	28

<b>Chapitre 5</b>	<b>Résultats - Analyse</b>	<b>29</b>
5.1	Resultats	29
5.1.1	essais sur cylindres	29
5.1.2	essais sur briques	29
5.2	Analyse	35
5.2.1	influence du pas de	35
5.2.2	influence de la pression de compaction	37
5.2.3	influence de l'immersion	42
5.2.4	influence de la cure	44
5.2.5	influence de la densité	46
5.2.6	erosion	49

<b>Chapitre 6</b>	<b>Application pratique</b>	<b>50</b>
6.1	Forme des briques	50
6.1.1	briques creuses	50
6.1.2	briques plates	52
6.1.3	formes adéquates de briques	53

6-2 utilisation de la brique pour une coupole	56
6-2-1 analyse structurale	56
6-2-2 exemple de calcul	59
6-3 Tableaux de Resultats	62
6-4 Analyse des résultats	66
6-4-1 Facteur de sécurité	66
6-4-2 aptitude de nos briques	69

Conclusions - Recommandations 71

ANNEXES 74

## Chapitre 1 : Introduction

### 1.1 But

l'habitat humain a traversé différentes phases d'évolution dépendamment des conditions socio-économiques et du progrès technologique; c'est ainsi qu'on est passé de la grotte (le plus élémentaire) à l'immeuble (le plus moderne). Au niveau de la zone saharienne, la nature et les conditions socioéconomiques forcent souvent les hommes à des déplacements fréquents d'où résultait un type d'habitat temporaire et souvent précaire, mais néanmoins adapté aux conditions climatiques (case, hutte etc.). Cette situation n'a pas favorisé le développement d'un type de construction durable et adapté au climat. C'est pourquoi depuis une certaine d'années, que les populations ont commencé à se tourner dans un type d'habitat durable en appliquant grossièrement la technologie européenne mais les constructions qui en résulteraient n'intègrent pas les facteurs climatiques et économiques de nos régions. C'est pour pallier à ces faiblesses et améliorer certaines techniques traditionnelles (bâches - adobe etc.) que des recherches sont entreprises au niveau de l'E.P.T sur les possibilités d'utilisation de la latérite stabilisée dans des construct.

durables, le choix de la latérite étant principalement à 2 facteurs

- caractéristiques géotechniques intéressantes
- être disponible sur le territoire national

(Voir figure 1.1 du Projet de SOUMAHOR DIAKHITÉ)

### 1.2 : Définitions - Objectifs de la stabilisation

Nous entendons par latérite tous les sols résiduels rougeâtres et tous les sols non résiduels ayant subi le processus d'altération tropicale.

La stabilisation peut se définir comme une méthode physique, physico-chimique ou chimique permettant à un sol de satisfaire aux exigences qui imposent son utilisation dans un ouvrage. La stabilisation permet d'améliorer les liens existant entre les particules et, diminuer la porosité d'un matériau. Elle permet ainsi d'améliorer les caractéristiques mécaniques du sol, de réduire sa sensibilité à l'action de l'eau c'est à dire le gonflement, le retrait, la perte de cohésion et de rigidité, ainsi que l'érosion.

### 1.3 : Objectifs de notre étude

L'objectif des études que nous menons est

- d'identifier certains paramètres qui guident

la resistance de la latente stabilisee

- de determiner l'influence de certains phenomenes (Pluie : erosion, immersion)
- de proposer certaines formes de bulles en vue de leur utilisation dans un toit en forme de coupole
- de determiner la nature et la valeur des efforts qui sollicitent le toit que nous avons choisi d'étudier (coupole) pour differentes diametres en vue de definir les limites d'aptitude à la construction de la latente brune stabilisee ( latente de la region de Thess)

## chapitre 2. Revue de la documentation

### 2.1 : Preamble

La nécessité d'une amélioration de l'habitat rural dans les pays du tiers monde a, depuis plus d'une quinzaine d'anné, poussé certaines institutions internationales (UNESCO, ADAUA, BREDA etc...) et certaines écoles d'ingénieurs (ETP, EPT etc...) à entreprendre des recherches sur l'aptitude de certains matériaux locaux tels que l'argile et la latérite à être utilisés dans des constructions durables.

En fait l'accroissement des recherches sur la stabilisation des sols dans le domaine de l'habitat a suivi en mars 1965 lors de la séie de colloques organisés par l'ETP (école des travaux publics) à Paris. De ces colloques les conclusions suivantes ont été tirées :

- des constructions réalisées en Afrique suivant les méthodes européennes tenaient peu compte des facteurs climatiques et socioéconomiques
- Une utilisation rationnelle des matériaux locaux erait donc à entreprendre

## 2.2 : Etat des recherches sur les sols stabilisés

+ Pascal Galdi dans son étude "l'habitat rural au Sénégal" traite de la stabilisation des sols et fait une synthèse des principales techniques utilisées au Sénégal pour la réalisation de divers types d'habitats ; il y cite en outre les recommandations du Bureau de l'habitat rural

+ Le Cratère dans le même ordre d'idée s'intéresse à l'adobe et à la pratique de la stabilisation des terres ; de leur étude on peut tirer certaines recommandations sur la pratique de la stabilisation sous ses différentes formes (physique, physico-chimique et chimique)

+ Le Bureau régional de l'UNESCO a mené certaines études pour une meilleure utilisation des ressources locales dans la construction (Par exemple le Projet de Nianing au Sénégal) Un autre de leur projet est à l'étude actuellement en vue de la réalisation, dans la région de Bafel (Sénégal-oriental), d'un type d'habitation utilisant la coquille

+ L'ADAU A s'intéresse à la stabilisation du mélange argile-sable. Le programme de leur étude

erait le suivant

1.) Recherche d'identification pour les matériaux locaux les plus aptes à la construction en terre

2.) Etudes et essais pour les matériaux retenus avec adjonction de différents stabilisants - choix du ou des stabilisants les plus efficaces et économiques

3.) Mise en application des matériaux stabilisés

+ En 1976 Jean Michel Gresillon publie dans les Annales de l'institut Technique du bâtiment et des travaux publics (N° 333) une étude sur l'utilisation de la latérite stabilisée dans la construction. Le but de son étude était de définir les paramètres qui conditionnent la qualité d'une stabilisation au ciment pour un sol. C'est ainsi que M<sup>r</sup> Gresillon formula certaines relations empiriques à partir des paramètres contrôlant la résistance mécanique des terres stabilisées.

+ Notons également que des études sur des murs en terre stabilisée sont menées au CEREEQ (ancien laboratoire des travaux publics de Dakar) depuis 1950.

+ Le laboratoire du bâtiment et des travaux publics de Côte d'Ivoire a publié une étude portant sur les différents paramètres à contrôler lors de la

7

construction en terre stabilisée. Il s'agit en fait de recommandations pour la conception et l'exécution de bâtiments économiques en geobeton

### 2.3 Le Projet de l'EPT

La latérite est un matériau dont le comportement est difficile à prédire; en fait il y a une multitude de sortes de latérite dont les caractéristiques varient dépendamment de

- la roche mère
- au degré d'altération (décomposition - latérisation)
- à sa position topographique
- à sa profondeur dans le profil pédologique

Notons également que ces caractéristiques physiques, granulométriques, géotechniques varient dans le temps en fonction du processus continu de latérisation

C'est dans ce but de contribuer à la connaissance des paramètres déterminant le comportement de la latérite stabilisée que des projets de fin d'études intitulés "latérite matériau de construction ont été initiés à l'école polytechnique de Thies

Cette étude a pour finalité de déterminer l'aptitude des latérites (étudiées) à être utilisées économiquement et efficacement comme matériau de construction

La première phase du projet de l'EPT a permis de déterminer les :

- les caractéristiques géotechniques de la latérite rouge de Thies

- l'influence du rayon de paroi (système traditionnel)

- les effets de la stabilisation à la chaux

- les effets de la stabilisation au ciment

Les conclusions suivantes ont été tirées de cette étude

- l'eau de bâchage doit être bien dosée car elle semble influer considérablement sur les résistances mécaniques

- la stabilisation à la paroi bien que diminuant les fissures de séchage et bien qu'augmentant la ductilité du béton, peut entraîner une perte de résistance

- la stabilisation à la chaux ne donne pas d'effets remarquables comparativement au ciment, en considérant son coût relativement élevé

- le ciment donne des gains de résistance très appréciables au-delà de 4% <sup>cette résistance</sup> et avoir avec la quantité de stabilisant ajoutée

La phase 2 a permis de confirmer toutes ces conclusions.

cette étude a également permis de faire certains constats

- la résistance augmente quand la teneur en eau diminue
- la plasticité augmente et le module de Young diminue quand la teneur en eau augmente

La phase 3 du projet de l'EPT a permis de confirmer les résultats obtenus dans les phases 1 et 2 des tests complémentaires pour déterminer l'aptitude à la latérite stabilisée à l'eau et à la tension ont été effectués. Comme pour le béton il semblait que la résistance à la tension équivaut à 10% de la résistance en compression simple.

Une analyse structurale d'une coupole de dimensions déterminées a été faite; la conclusion à ce niveau est que la latérite stabilisée est apte à la construction.

Les différentes conclusions de ces études (Phases 1, 2, 3) sont illustrées par les figures 2.1, 2.2, 2.3 et 2.4

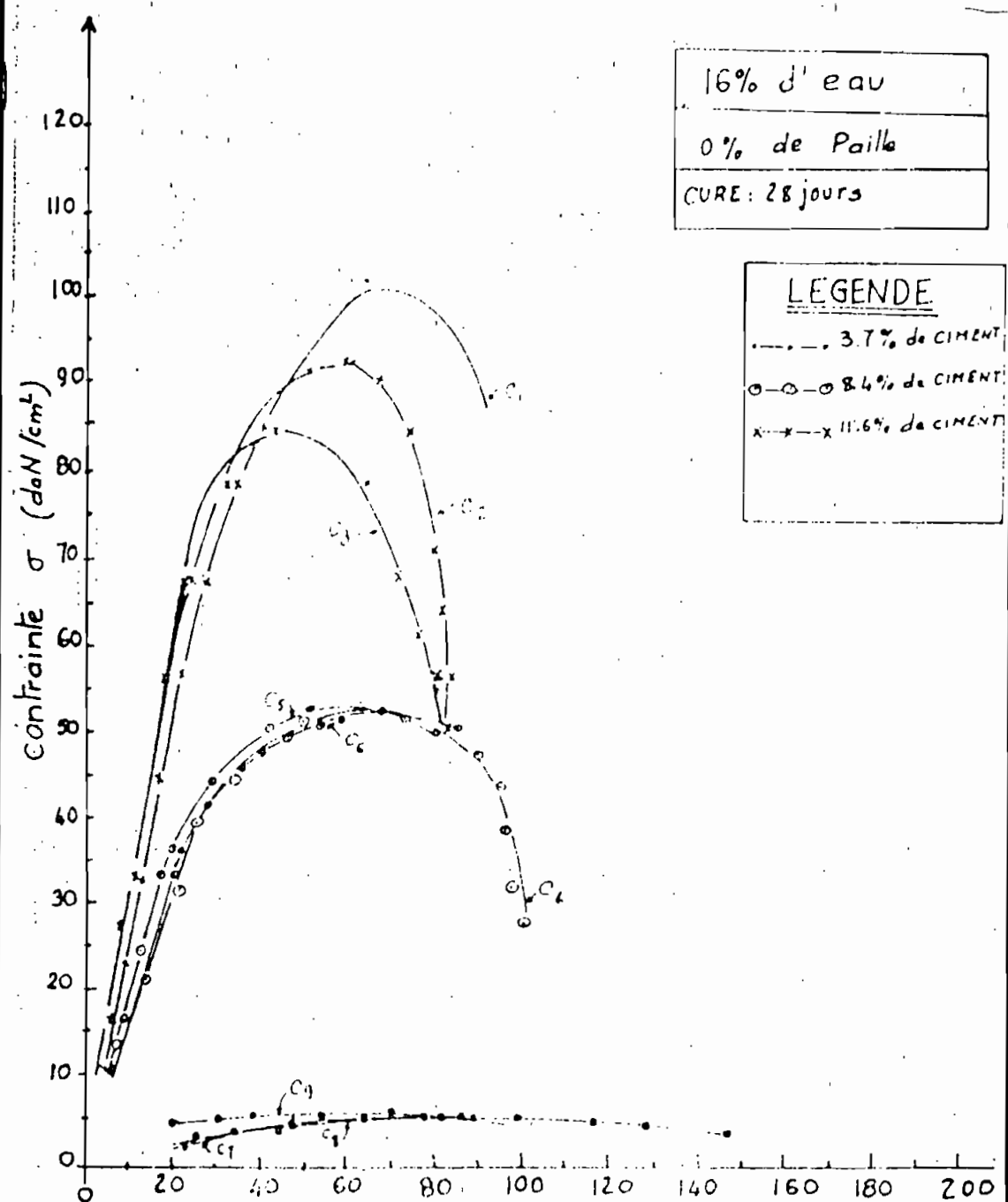


Fig. 2.1      déformation  $\epsilon \times 10^4$

Courbes contrainte-déformation  
Influence de la teneur en ciment sur la  
résistance à la compression  
 (cylindres standards)

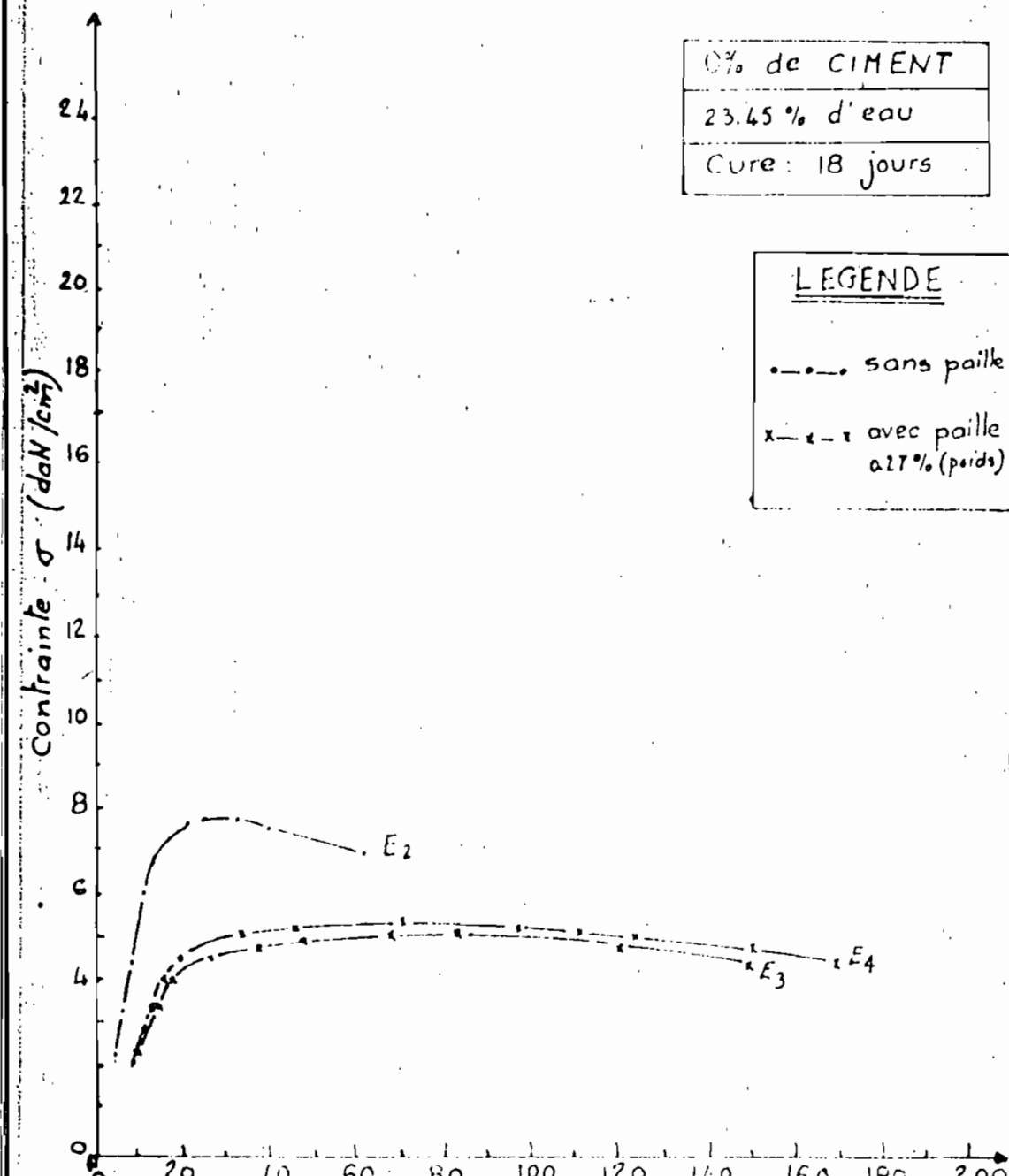


fig 2.2      déformation  $\times 10^4$

Courbes contrainte-déformation  
Influence de la paille sur la  
résistance à la compression  
 (cylindres standards)

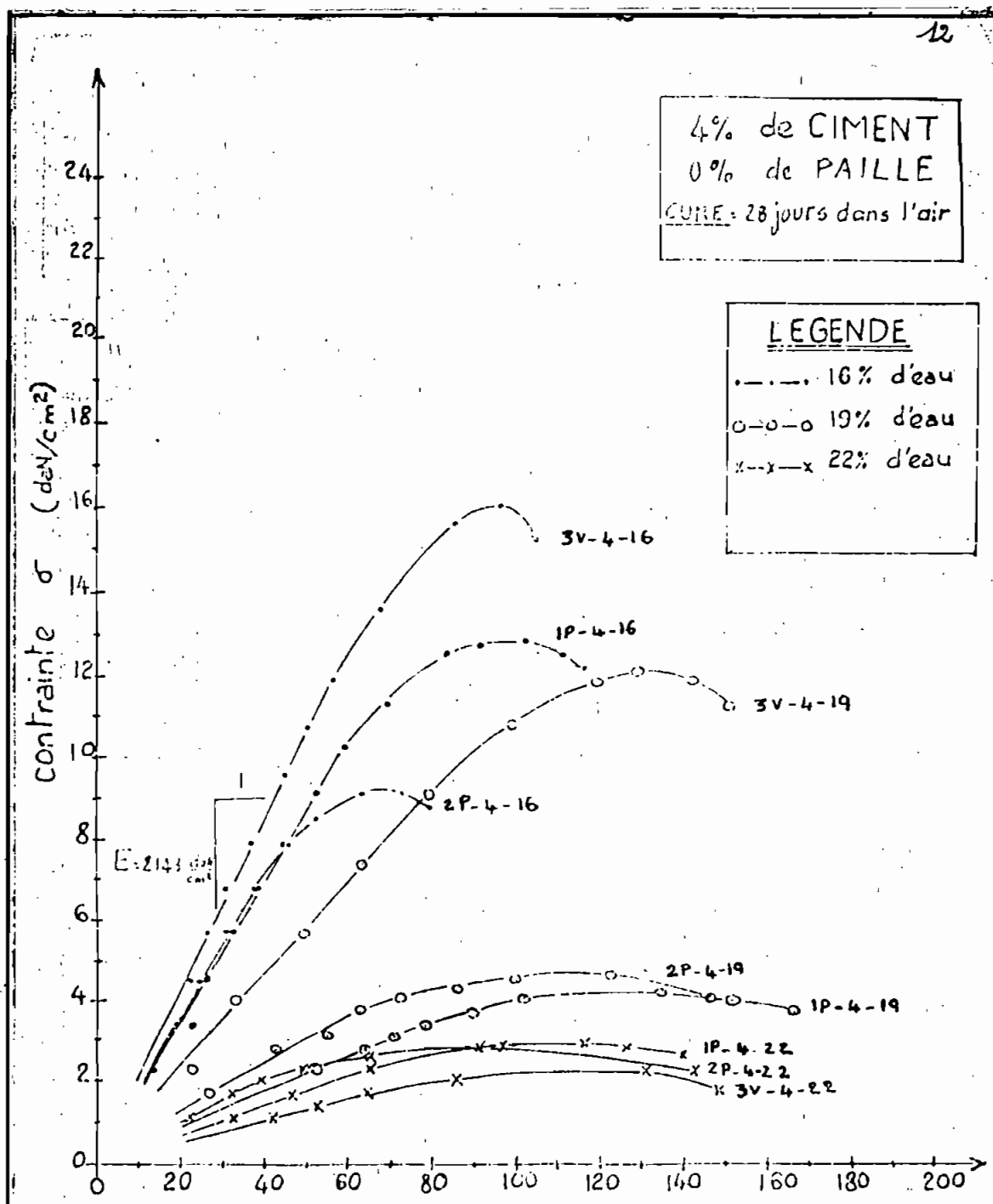


fig 2.3

déformation ( $\epsilon \times 10^4$ )Courbes contrainte-déformationInfluence de la teneur en eau et du compactage

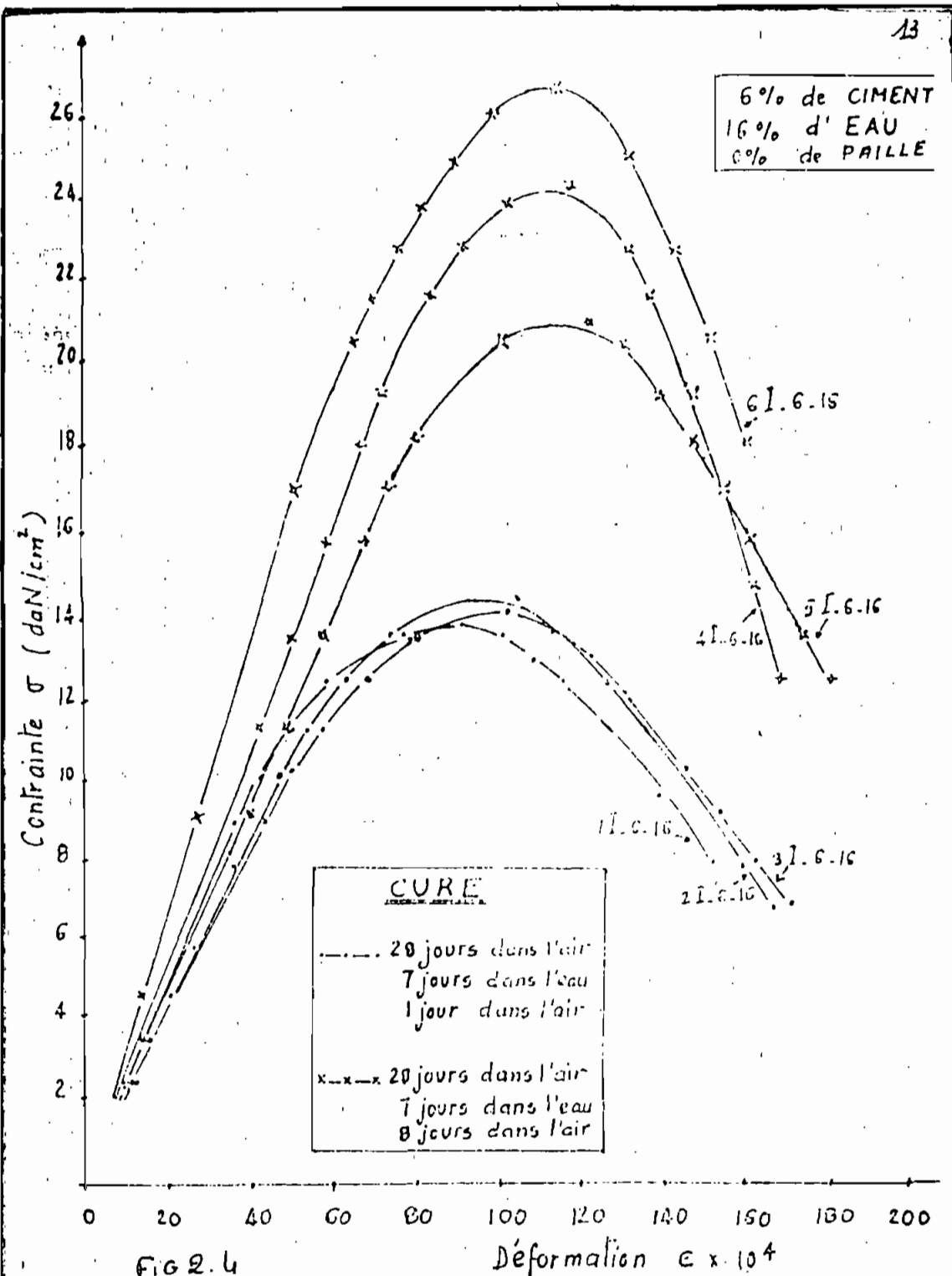


FIG 2.4

Courbes Contrainte - Déformation  
Influence de 7 jours d'immersion sur la résistance  
à la compression (cylindres standards)

## Chapitre 3 : Essais Geotechniques

### 3.1 : Densité Optimale

Les travaux effectués par divers chercheurs ont montré qu'il existe une relation très nette entre la densité à sec d'un matériau et sa résistance mécanique. Partant de ce principe nous avons cherché à déterminer le pourcentage de sable qu'on peut ajouter à la latérite pour obtenir un mélange de densité optimale, afin d'améliorer la résistance mécanique de notre Geobeton. Cette opération bien que n'étant pas d'un intérêt pratique, permet néanmoins d'explorer davantage l'influence de la granulométrie et des paramètres qui s'y rattachent.

Pour déterminer cette densité optimale et le pourcentage de sable qui s'y rapporte, on ajoute une certaine quantité de sable à de la latérite sec ; ces deux matériaux sont brassés manuellement puis mis dans un moule, en trois couches compactées à 25 coups à l'aide d'un marteau Power. On détermine ainsi le poids et la densité du mélange et cette procédure est répétée plusieurs fois en faisant varier le rapport sable-latérite ce qui nous permet d'obtenir une courbe de la densité versus pourcentage de sable (Voir courbe de la figure 3.1) et le tableau A1 )

15

Pour la teneur étudiée nous avons trouvé que la densité optimale serait obtenue avec une teneur en sable de 50% ; Mais il faut savoir que cette teneur en sable, bien que nous donnant la densité optimale, donne également une surface spécifique des particules devant être enrobées par la pâte beaucoup plus grande et va par conséquent nécessiter un dosage encore plus élevé pour l'obtention d'une même résistance. C'est pourquoi notre choix a porté sur une teneur de 20% qui donne tout de même une densité proche de l'optimum. Malheureusement, la granulométrie, bien qu'améliorée, semble déficiente en certaines grosses de particules ; cela étant dû principalement au sable ajouté qui est trop fin et mal étalé.

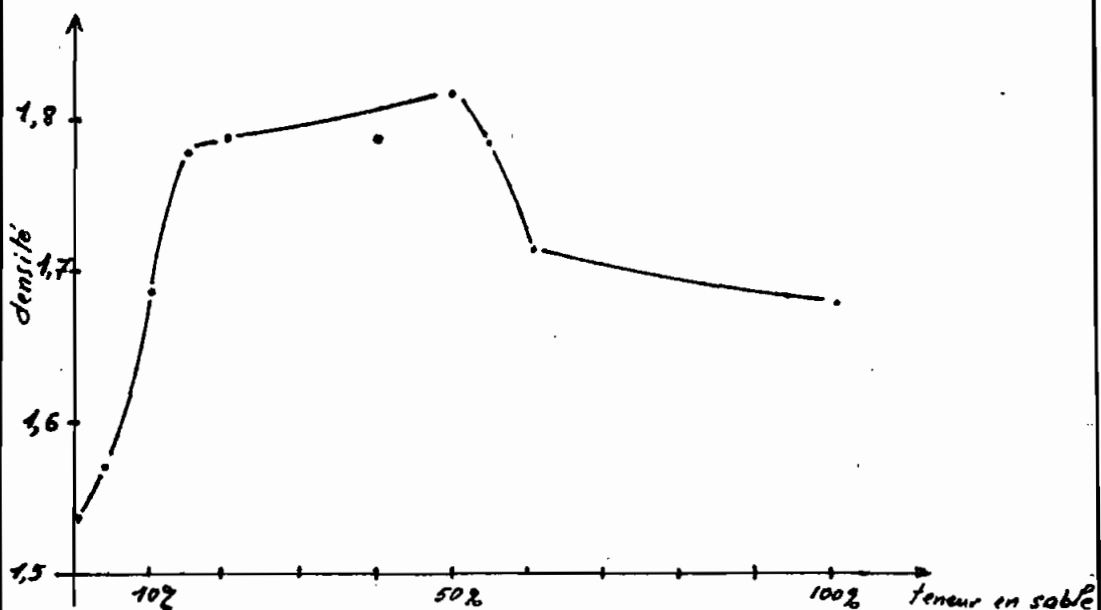


Fig. 3.1 : Courbe de densité optimale

### 3.2 : Essais Geotechniques

16

Les essais geotechniques tiennent leur importance du fait même que les paramètres qu'ils nous permettent de déterminer ont une influence très grande sur les performances du béton. Ce sont les paramètres définissant la plasticité de la terre et les paramètres geotechniques et physiques tels que

- le diamètre moyen  $d_{50}$
- le diamètre efficace  $d_{10}$
- les coefficients d'uniformité et de courbure
- l'indice des vides
- la limite de liquidité
- la limite de plasticité

#### 3.2.1 Analyse granulométrique

L'analyse granulométrique permet de connaître la distribution des tailles des différents grains qui composent un sol. Les terres friables comme la latérite sont extraites par des procédés mécaniques qui les rompent et les fragmentent et par conséquent les affaiblissent. Pour cela donne certaines caractéristiques quand on les utilise comme béton il s'avère souvent nécessaire de les compacter. On sait également que les granulométries étrictes n'offrent pas une forte compacité c'est pourquoi la détermination de la granulométrie du sol s'avère nécessaire pour la

pour la prédiction de son comportement face à la compression et par conséquent au chargement (compression). L'analyse de la granulométrie du sol permet de juger de la nécessité d'apporter certains correctifs granulométriques.

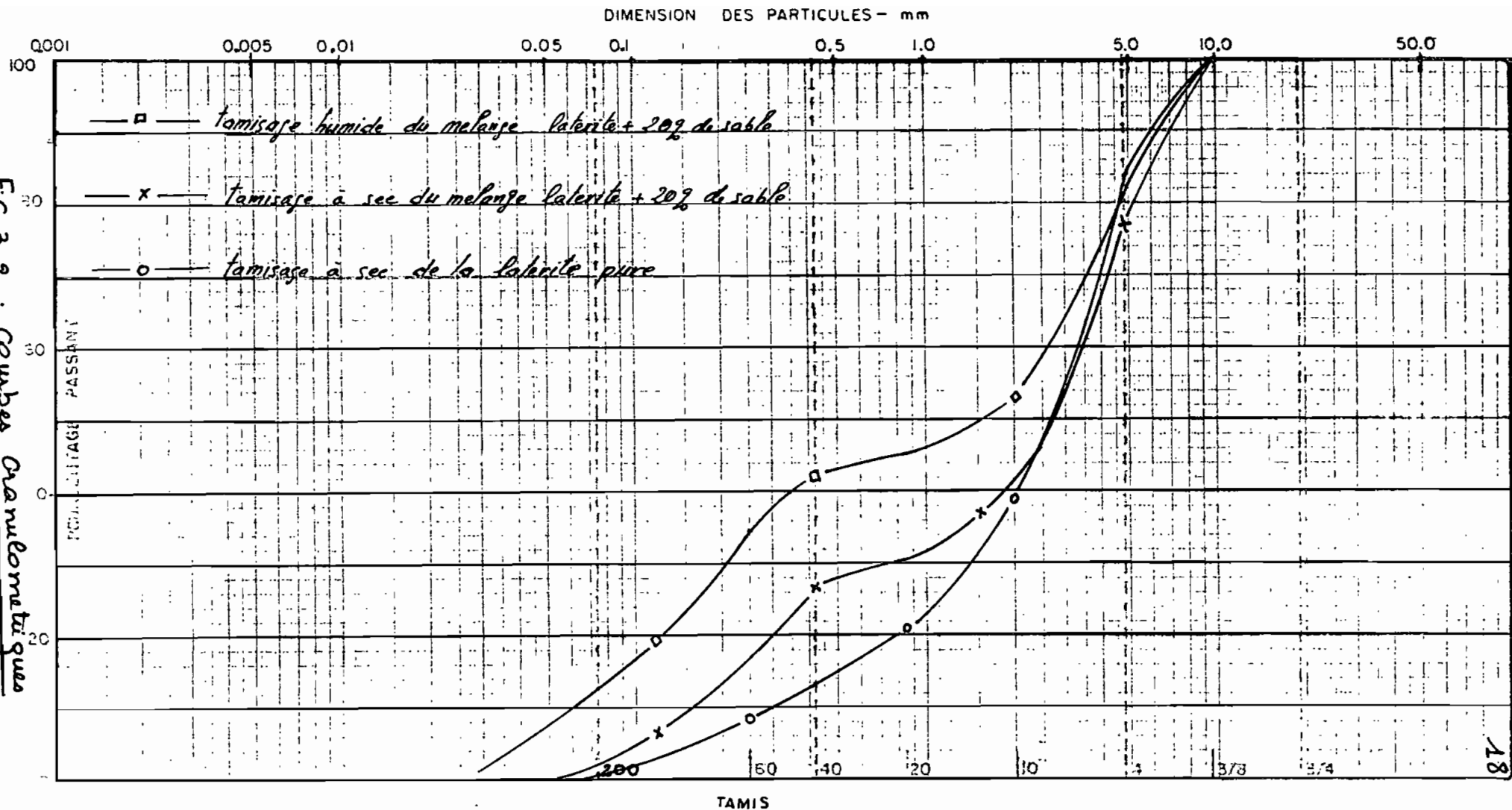
Notons également qu'il existe une corrélation entre le diamètre moyen des terres et la faculté de ces dernières à s'éroder (Voir Réfbibliographique 5 et 8)

de la courbe granulométrique (fig 3.2) on constate qu'il y'a 3% de particules passant la tamis 200 ( $\phi < 0,08 \text{ mm}$ )

or le laboratoire du Bâtiment et des Travaux Publics (LBTP côte d'Ivoire) recommande un pourcentage compris entre 15 et 30% ; ceci pour éviter d'avoir des difficultés au démoulage par manque de cohésion des particules et également pour limiter la sensibilité à l'eau de nos blocs de Geobeton. Pour satisfaire à cette exigence nous avons essayé un tamisage humide après l'immersion pendant vingt quatre heures (24) de notre échantillon, en pour constater à quel point nos particules se désagencent afin d'évaluer si possible ce système lors de la confection de nos blocs de geobeton ( Voir courbe à la Fig 3.2 à l'annexe A9 et le Tableau de mesures ~~à l'annexe~~ à l'annexe )

Nous constatons à partir de ces courbes que nous passons de 3 à 18% de particules fines ; ce qui satisfait aux exigences du LBTP

Fig 3.2 : Cowbea granulomatous



PARTICULES FINES	FIN	MOYEN	GROS	FIN	GROS
	SABLE			GRAVIER	

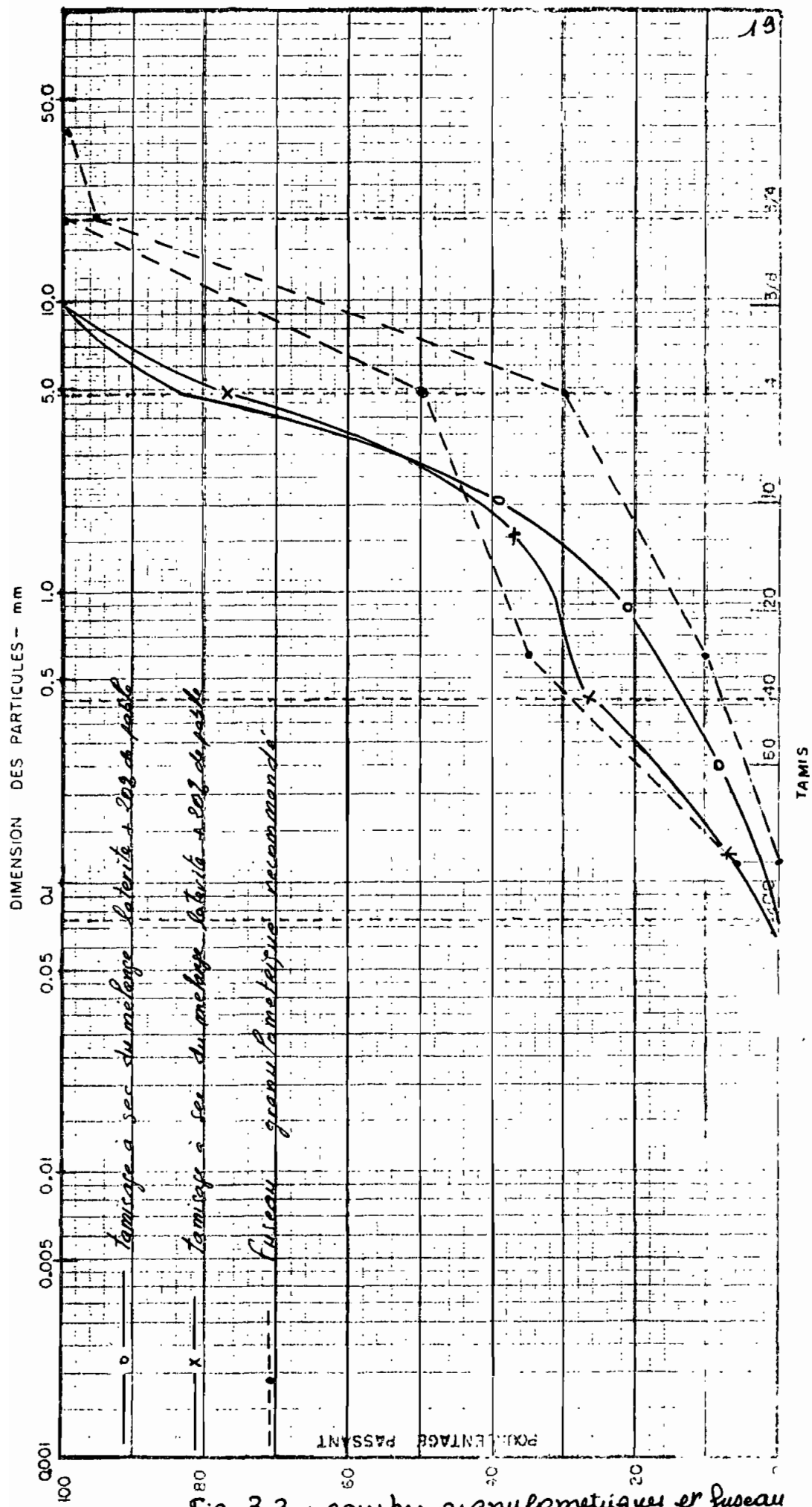


Fig 3.3 : courbes granulométriques en faveur recommandé

PARTICULES FINES	FIN	MOYEN	GROS	FIN	GROS
TAMIS	SABLE	SABLE	GRAVIER	SABLE	GRAVIER

### 3.2.2 Limites d'Atterberg

20

Si nous avons jugé utile de reconduire les résultats obtenus dans la phase 3 du projet de l'E.P.T c'est qu'il existe une corrélation assez nette entre les limites d'Atterberg et la teneur en eau optimale. En effet il est établi que la teneur en eau optimale est toujours inférieure à l'indice de plasticité. Par ailleurs la connaissance de l'I<sub>P</sub> est très importante car elle permet de juger des caractéristiques du matériau, de la cohésion, du gonflement, du retrait, de la résistance à l'érosion, de la perméabilité et de son comportement face aux agents atmosphériques.

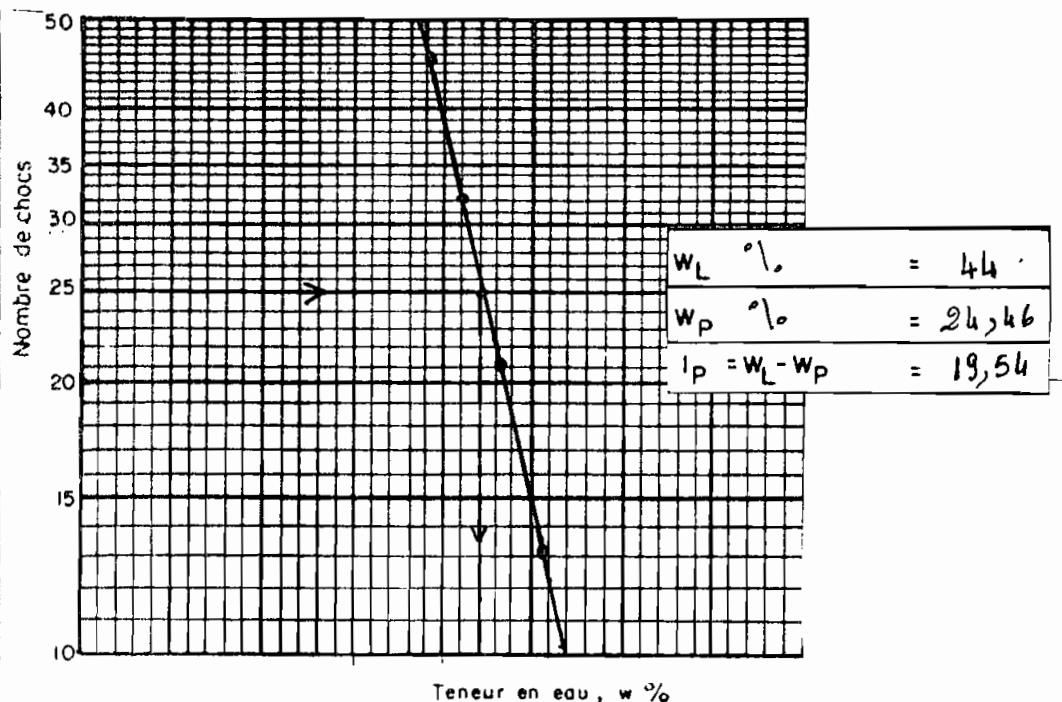


FIG 3.4 Limites d'Atterberg

### 3.2.3 Essai Proctor

Comme souligne plus loin, il existe une corrélation très nette entre la densité sèche des blocs de geobéton, par conséquent leur compacité, et leur résistance mécanique. Pour améliorer la résistance mécanique de notre sol et sa sensibilité à l'eau il est nécessaire de compacter la matière de façon à obtenir une densité sèche optimale pour une énergie de compactage donnée. L'obtention de cette densité nécessite la connaissance de la teneur en eau optimale.

de la figure 3.5 nous trouvons une teneur en eau optimale de 18,2 % (Voir Tableau de mesures dans l'annexe A7 )

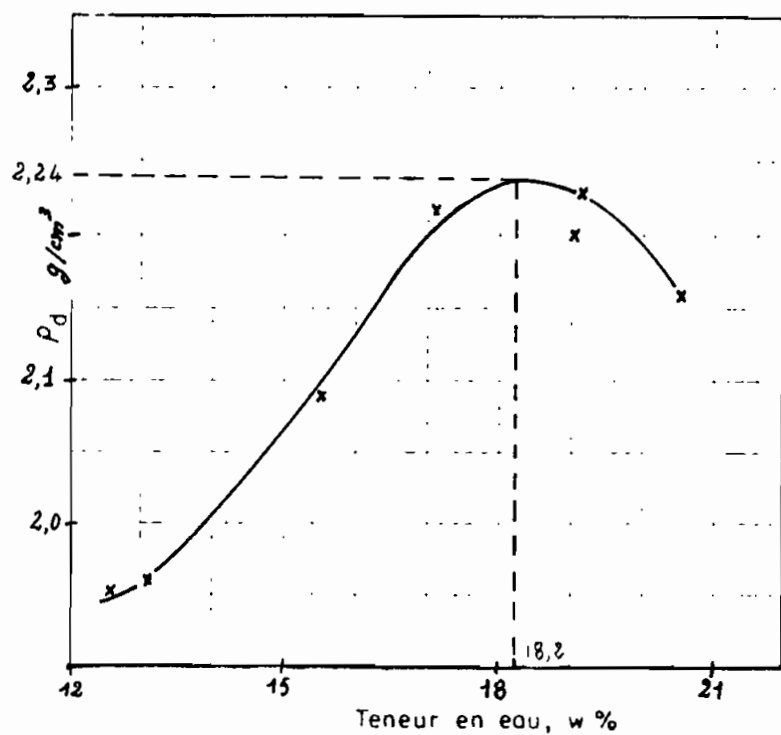


Fig 3.5 : Courbe d'essai Proctor

## chapitre 4. Méthodologie de Travail

### 4.1 Mélange

#### 4.1.1 : Latérite

La latérite utilisée est la latérite brune de Thivé; ses différentes caractéristiques géotechniques sont consignées dans l'annexe

#### 4.1.2 Sable

C'est un sable de dune qui a été utilisé pour augmenter la densité du mélange. Le sable de dune est une sable très fin à granulométrie très étroite ce qui a pour double inconvénient d'augmenter la surface spécifique des particules et de ne pas permettre une diminution efficace du volume des vides; ces inconvénients ont une incidence sur la résistance mécanique car le gain de résistance que l'on est en droit d'attendre du rajout de sable est plus faible que le gain qu'on aurait obtenu en utilisant un sable de granulométrie plus élevé avec des grains plus grossiers.

Son utilisation est due au fait que c'était le <sup>seul</sup> sable disponible au niveau du campus de l'EPT. Sa proportion dans le mélange est de 20 % de la terre seche (latérite + sable)

#### 4.1.3 : Ciment

L'addition de ciment a essentiellement pour but d'améliorer les caractéristiques mécaniques de notre geobeton et <sup>de diminuer</sup> la sensibilité de ce dernier à l'eau pour éviter sinon atténuer le délitage, le gonflement et le retrait de nos blocs en présence d'eau. Le ciment utilisé est le CPA 325 qui est un ciment Portland de type normal disponible sur le marché. Notons que la résistance croît avec la teneur en ciment mais la nature du projet a conduit au choix de 6% du poids du mélange latérite-sable.

#### 4.1.4 : Eau de gachage

L'eau ajoutée au mélange latérite-sable-ciment doit satisfaire les exigences suivantes :

- hydrater le ciment
- donner une compacité maximum
- permettre un emballage adéquat des grosses particules par les fines
- permettre un démoulage relativement facile des blocs de geobeton

Toutes ces exigences peuvent être remplies en choisissant une teneur en eau égale à la teneur en eau optimale Proctor ( $18,2\%$  pour nous). Notons toutefois que les

Variations de la teneur en eau naturelle du sol occasionne de legeres variations de la teneur en eau des melanges <sup>24</sup>

#### 4.2. Confection des cylindres standards

(voir Tableau 4.1)

##### Standards

Nous avons utilise des cylindres metalliques de dimensions interieures standards

- diametre interieur d = 15 cm
- hauteur = 30cm

Pour la confection des cylindres la procedure suivante a ete suivie

- a) rajout d'une certaine quantite d'eau à la latente fme 24 heures avant la confection des cylindres en prenant soin de minimiser l'évaporation
- b) melange sable. ciment
- c) melange sable. ciment. latente mouille
- d) rajout du restant de l'eau de gachage  
puis malaxage
- e) mettre le melange dans les moules  
et compacter en trois couches, 25 coups  
à l'aide du marteau Rocker
- f) compaction mecanique si necessaire  
jusqu'à la pression desiree (a l'aide de la presse Hydraulique)

g) Pour la cuve encequochonner les moules métalliques à l'aide d'un sacchet en plastique

h) séchage à l'air quarante jours après, pour les cylindres ayant bénéficié de la cuve

N.B : Voir les proportions de mélange à l'annexe page 80

#### 4.3 Confection des briques

a) mélange la cendre ( $\phi$  max 5mm) avec le sable et le ciment

b) ajoutez de l'eau jusqu'à la tenue en eau optimum

c) mettez le mélange dans le moule et vibrer en 3 couches (le mode de vibration est celui des magons locaux : il consiste à faire tomber d'une hauteur raisonnable le moule rempli de béton sur une base suffisamment rigide)

d) démontez et laissez sécher à l'air

Les dimensions du moule utilisé sont

$$H = 200 \text{ mm}$$

$$L = 400 \text{ mm}$$

$$\ell = 150 \text{ mm}$$

TABLEAU 4.1 : Caractéristiques de Fabrication des échantillons

	SÉRIE 1 Echantillons de 1 à 8	SÉRIE 2 Echantillons de 9 à 14	SÉRIE 3 Echantillons de 15 à 20	SÉRIE 4 Echantillons de 21 à 24
<u>dosage</u>	- laterite 75 kg - sable 15 kg - ciment 5,4 kg - eau 12,6 l	- laterite 60 kg - sable 12 kg - ciment 4,32 kg - eau 13 l	- laterite 75 kg - ciment 4,5 kg - eau 8,155 l	20% sable 8% de ciment
<u>cylindres standards</u>	tous les échantillons sont fabriqués à l'aide des cylindres standards utilisés en béton . soit hauteur = 30 cm et diamètre = 15 cm			
<u>Pilonnage manuel</u>	les cylindres sont remplis avec trois couches de matériaux pilonnés avec 25 coups . l'appareil de pilonnage est le marteau utilisé pour le Proctor normal			
<u>compactage mécanique</u>	certains échantillons ont été compactés à l'aide d'une presse hydraulique : Tinus Olsen SUPER "L" PT Willow Grove P.A. USA de capacité maximum 1.600 kN Les échantillons 1, 2, 9, 10, 15, 16, 21, 22, 23, 24 n'ont pas été compactés Les échantillons 5, 7, 6, 8, 12, 14, 17, 18 ont été compactés à une pression de 1,5 MPa Les échantillons 3, 4, 11, 13, 19, 20 ont été compactés à une pression de 3,0 MPa			
<u>teneur en air</u>	La teneur en air du mélange de la 1ere série est de 4,8%			
<u>curé</u>	tous les échantillons ont été maintenus dans les coffrages pendant 21 jours sauf la 12 et la 16 (3 jours) et les 21, 22, 23, 24 (16 jours)			

#### 4.4 Essais réalisés sur les cylindres et sur les briques

27

On peut estimer la qualité d'une tôle stabilisée selon plusieurs critères. Nous avons limité notre étude à trois critères :

- La résistance à la compression simple du Geobeton sur
- La résistance à la compression simple du Geobeton ayant subi une immersion d'une durée de 7 jours
- La résistance à l'érosion

Ces deux critères nous permettent aussi de percevoir les autres critères (gonflement, retrait etc...) à cause de l'étroite corrélation qui existe entre eux. Ces trois nous nous permettent d'étudier

- L'influence du sable
- L'influence de la densité
- L'influence de la cire
- L'influence de l'immersion
- Le comportement face à certains agents climatiques (pluie) ; l'érosion

4.4.1 : Essai de compression sur échantillons sur  
Les cylindres ont été testé à l'aide d'une presse Hydraulique (TINUS OLSEN) après un séchage de 35 jours pour

certains cylindres et 60 jours pour d'autres  
Les charges et les déformations correspondantes  
sont relevées simultanément

Nous précisons également que les cylindres n'ont pas  
été capés au soufre.

Les briques ont également été testées sous la pression  
hydraulique (sur la face 40cm x 15cm). elles n'ont  
pas été capées au soufre

#### 4 - 4.2 ESSAI DE COMPRESSION SUR ECHANTILLON AYANT SUBI UNE IMMERSION DE 7 JOURS

les cylindres standards ont été immergés pendant  
7 jours après avoir été muri pendant 35 jours.  
Ils ont été testés immédiatement au sortir de  
l'eau

#### 4.4.3 ESSAI D'EROSION

Cet essai est effectué pour simuler l'effet de la  
pluie sur les briques en terre stabilisée.  
On projette un jet de 7,63 m/sec de l'eau sur  
un trou préalablement aménagé sur la brique  
la durée de l'arrosage est de 33 heures.

( Voir annexe Phase 3 pour la procédure de détermination  
de la vitesse et de la durée )

## chapitre 5. Results-Analyse

### 5.1 Results

#### 5.1.1: Essais sur cylindres

Voir les tableaux 5.1

5.2

5.3

#### 5.1.2 Essais sur briques

Voir les tableaux: 5.4

5.5

TABLEAU 5-1 : Caractéristiques des échantillons

N°	Composition des échantillons			EFFets de la pression de compact.		densité des échant. à 0 jour		densité des échantillons avant le test			Resistance à la compression des échantillons (MPa)	Observations
	% de ciment	% de sable	teneur en Eau	Pression (MPa)	diminution de longueur (cm)	Poids (Kg)	densité	Poids avant test ou immersion	Poids après immersion	densité résultante		
1	6	20	18,97	0	0	11,60	2,188	10,417	-	1,960	1,029	
2	"	"	"	0	0	11,40	2,151	10,151	-	1,910	0,905	
3	"	"	"	3,0	1,80	11,20	2,248	10,157	-	2,038	1,811	
4	"	"	"	3,0	1,65	11,15	2,226	10,075	-	2,011	1,698	
5	"	"	"	1,5	0,97	11,15	2,173	10,005	-	1,950	1,290	
6	"	"	"	1,5	0,97	11,15	2,174	10,030	-	1,955	1,188	
7	"	"	"	1,5	1,20	10,85	2,132	9,770	11,085	2,178	0,577	
8	"	"	"	1,5	1,00	10,90	2,127	9,780	11,050	2,156	0,521	
9	"	"	17,96	0	0	11,30	2,132	10,158	11,540	2,177	0,532	
10	"	"	"	0	0	10,90	2,056	9,830	11,200	2,113	0,453	

\* l'immersion a duré 7 jours

TABLEAU 5-2 : Caractéristiques des Echantillons

N°	Composition des échantillons			EFFETS de la pression de comp.		densité des échant. à 0jour		densité des échantillons avant le test			Resistance à la compression des échantillons (MPa)	Observations
	% de ciment	% de sable	teneur en eau	Pression (MPa)	diminution de longueur (cm)	Poids (Kg)	densité	Poids avant test ou immersion	Poids après immersion	densité résultante		
11	6	20	17,96	3,0	3,90	10,60	2,214	9,711	10,900	2,276	0,736	
12	"	"	"	1,5	2,56	10,55	2,176	9,665	-	1,952	1,120	
13	"	"	"	3,0	3,50	10,50	2,262	9,575	10,745	2,295	0,702	
14	"	"	"	1,5	1,93	10,70	2,157	9,626	10,965	2,811	0,487	
15	"	0	17,20	0	0	10,55	1,990	9,460	-	1,785	0,532	
16	"	"	"	0	0	10,45	1,970	8,955	10,255	1,930	0,624	
17	"	"	"	1,5	1,00	10,20	1,991	9,185	-	1,792	0,566	
18	"	"	"	1,5	1,04	10,20	1,993	9,215	10,520	2,056	0,300	
19	"	"	"	3,0	2,62	9,90	2,046	9,375	-	1,938	0,419	
20	"	"	"	3,0	2,25	10,20	2,080	9,225	-	1,881	1,064	

\* l'immersion a duré 7 jours

TABLEAU 3-3 : Caracteristiques des échantillons

N°	Composition des échantillons			EFFets de la pression de compact.		densité des échant. à 0jour		densité des échantillons avant le test			Resistance à la compression des échantillons (MPa)	Observations
	% de ciment	% de sable	Teneur en Eau	Pression (MPa)	diminution de longueur (cm)	Poids (Kg)	densité	Poids avant test ou immersion	Poids après immersion	densité résultante		
21	6	20	21,2	0	0	10,3	1,963	9,580	-	1,796	0,549	
22	"	"	17,9	0	0	10,6	1,999	9,610	-	1,813	0,458	
23	"	"	17,4	0	0							
24	"	"	17,0	0	0							

\* l'immersion a duré 7 jours

TABLEAU 5-4 : tableau recoupélatif des caractéristiques des briques (15x20x60)

N° brique	Caractéristiques des briques			Densité des briques avant test (en kg) Point dureté densité	Resistance à la compression (MPa)	Observations
	% de ciment	% de sable	teneur en eau en %			
1	6	20	20,1	15,170	1,641	0,248
2	"	"	19,7	15,330	1,652	0,663
3	"	"	"	15,293	1,654	0,679
4	"	"	18,5	"	"	
5	"	"	"	15,660	1,691	0,862
6	"	"	17,0	-	-	brique au mélange mélange à la bétomie
7	"	"	"	"	"	mélange à la bétomie
8	"	"	"	13,385	1,649	0,256 mélange à la bétomie
9	"	"	"	-	-	brique au mélange mélange à la bétomie

TABLEAU 5.5 : tableau recoupant l'atit des caractéristiques des briques (15x20x60)

brique	Caractéristiques des briques			densité des briques avant test	Resistance à la compression (MPa)	Observations
Nº	% de ciment	% de sable	tenue en eau %	Poids (en Kg)	densité	
10	6	20	13,0	14,392	1,557	0,295 mélange à la bétomie
11	"	"	14,2	14,665	1,586	0,636
12	"	"	19,6	-	-	Parois brisées
13	"	"	"	15,714	1,699	0,489
14	"	"	17,9	15,400	1,665	0,600
15	"	"	"	14,155	1,531	0,190
16	"	"	17,4	19,600	1,633	0,664 briques pleine
17	"	"	21,2	21,038	1,753	0,534 briques pleine
18	"	"	"	14,711	1,591	0,332

## 5.2 Analyse

35

### 5.2.1. Influence du sable

Nous notons à partir des courbes de la figure 5.1 une augmentation très nette de résistance des échantillons ayant subi une correction granulométrique par rapport de sable. Ce rapport de sable a permis de doubler la valeur de la résistance.

Ceci peut s'expliquer par le fait que la présence de sable, en égalant la granulométrie (le coefficient d'uniformité passe de 10 à 20), augmente la densité sèche. Ce rapport de sable permet également d'augmenter la rigidité des cylindres ; le module de young augmente de 100% (le module de young est donc en moyenne double).

On remarque également que la présence du sable atténue la sensibilité à l'eau (Voir <sup>fig. 5.2</sup> ~~fig. 5.2~~) et améliore la texture extérieure des cylindres.

ech	Pression (Mpa)	% sable
1	0	20
15	0	0
5	1,5	20
17	1,5	0
3	3,0	20
20	3,0	0

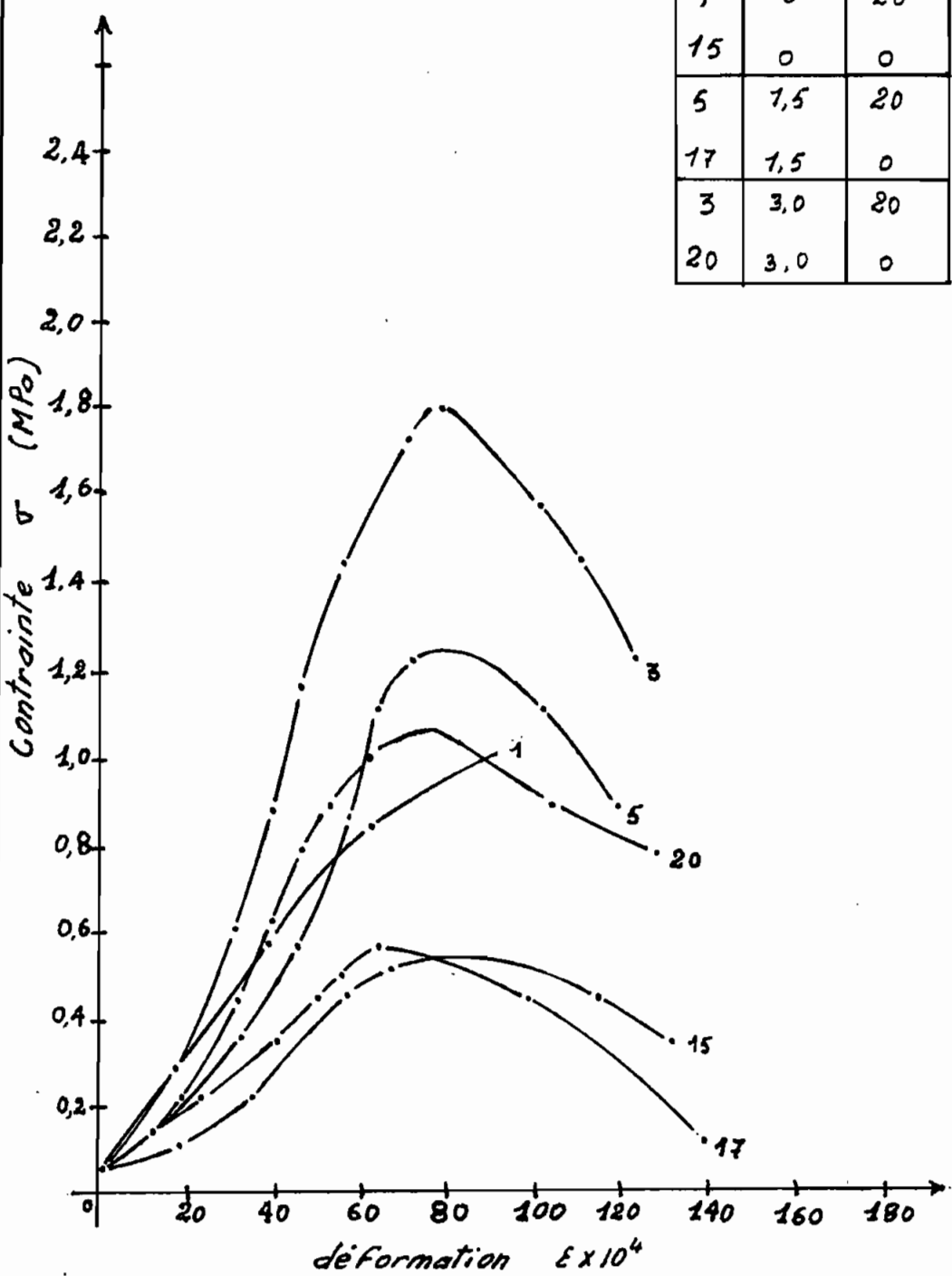


Fig.5.1 : Courbes Contrainte - déformation  
Influence du sable  
(cylindres standards)

### 5.2.2 Influence de la pression de compaction

L'analyse des courbes des figures 5.3, 5.3<sup>1</sup> et 5.3<sup>2</sup> permet de constater que l'augmentation de la pression de compaction entraîne

- l'augmentation de la résistance en compression simple des cylindres secs, ce qui peut s'expliquer par le fait qu'il permet d'obtenir des densités plus grandes; par exemple la résistance est doublée si la pression de compaction passe de 0 à 3 MPa
- l'augmentation de la résistance en compression simple des cylindres ayant subi une imbibition bien que cette augmentation est moins sensible (voir fig 5.4)

Nous notons également d'après les études faites par le Cratere que le mode de compactage influe beaucoup sur la résistance en compression simple des cylindres (Voir fig 5.8)

ech.	Pression (MPa)	$Z$ sable
1	0	20
2	0	"
3	3,0	"
4	3,0	"
5	1,5	"
6	1,5	"

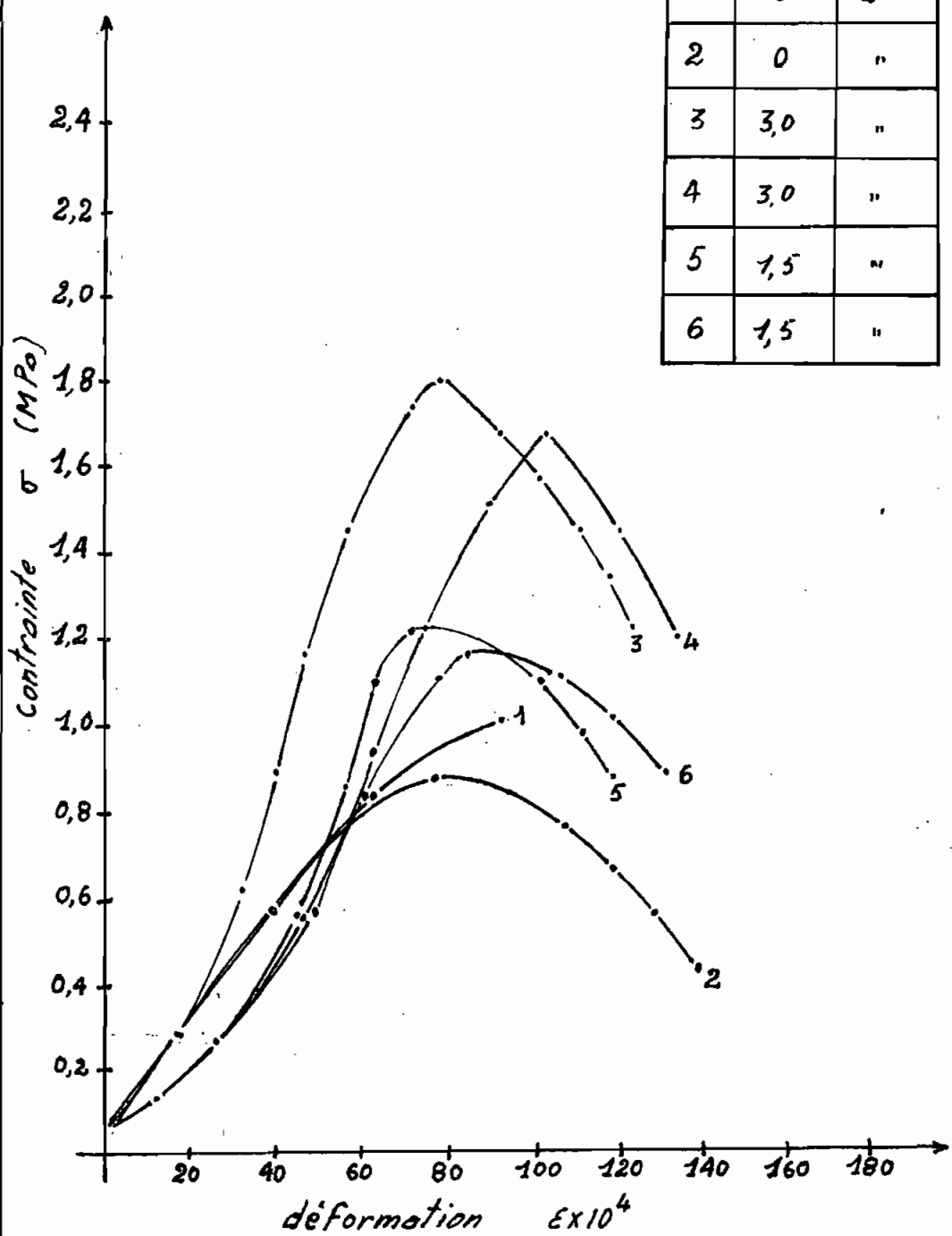


Fig. 5.2 : Courbes Contrainte - déformation

Influence de la pression de compactage

(cylindres standards)

ech	Pression (MPa)	% sable
16	0	0
17	1,5	0
20	3,0	0

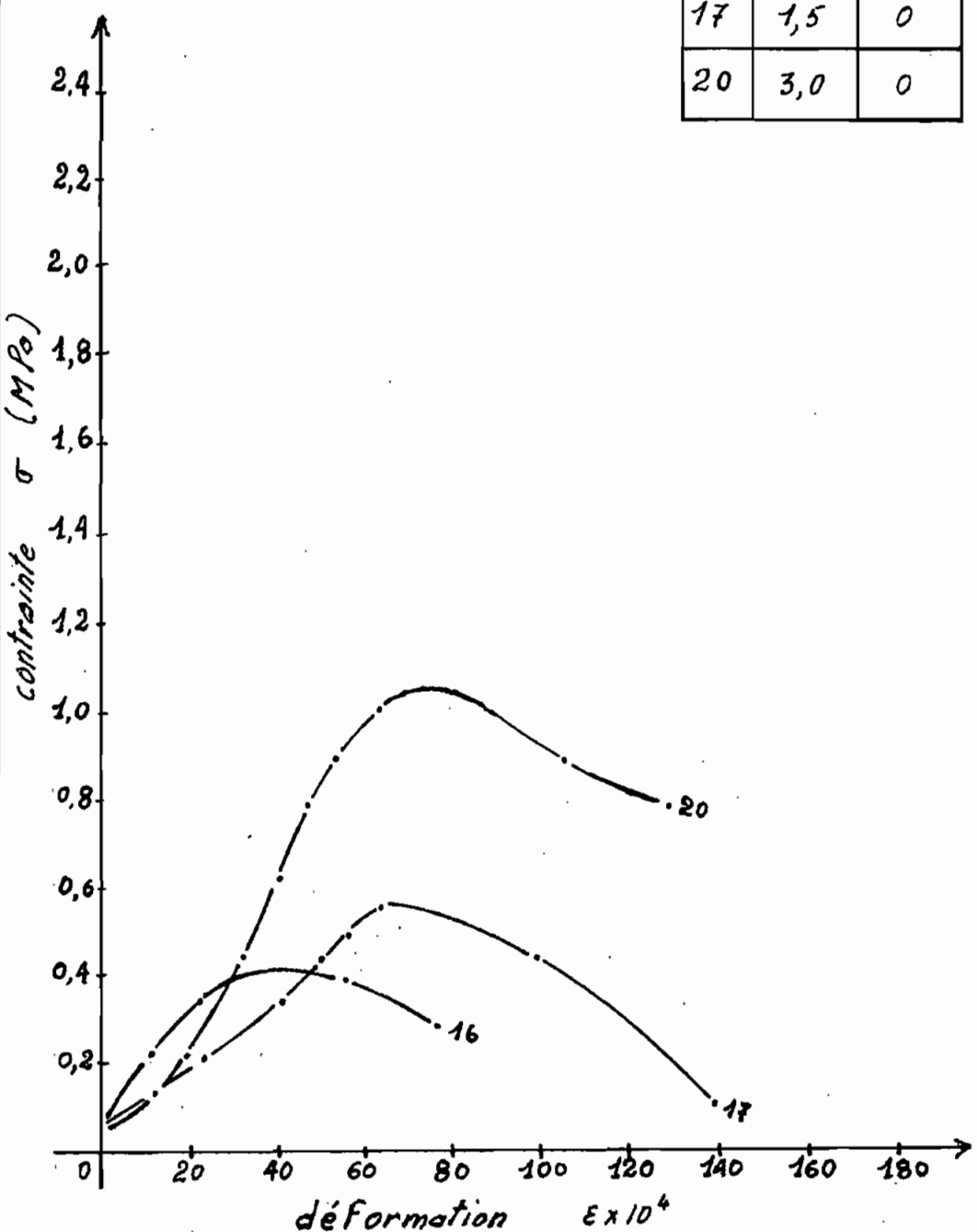


FIG. 5.3 : Courbes Contrainte - déformation

Influence de la pression de compactage  
(cylindres standards)

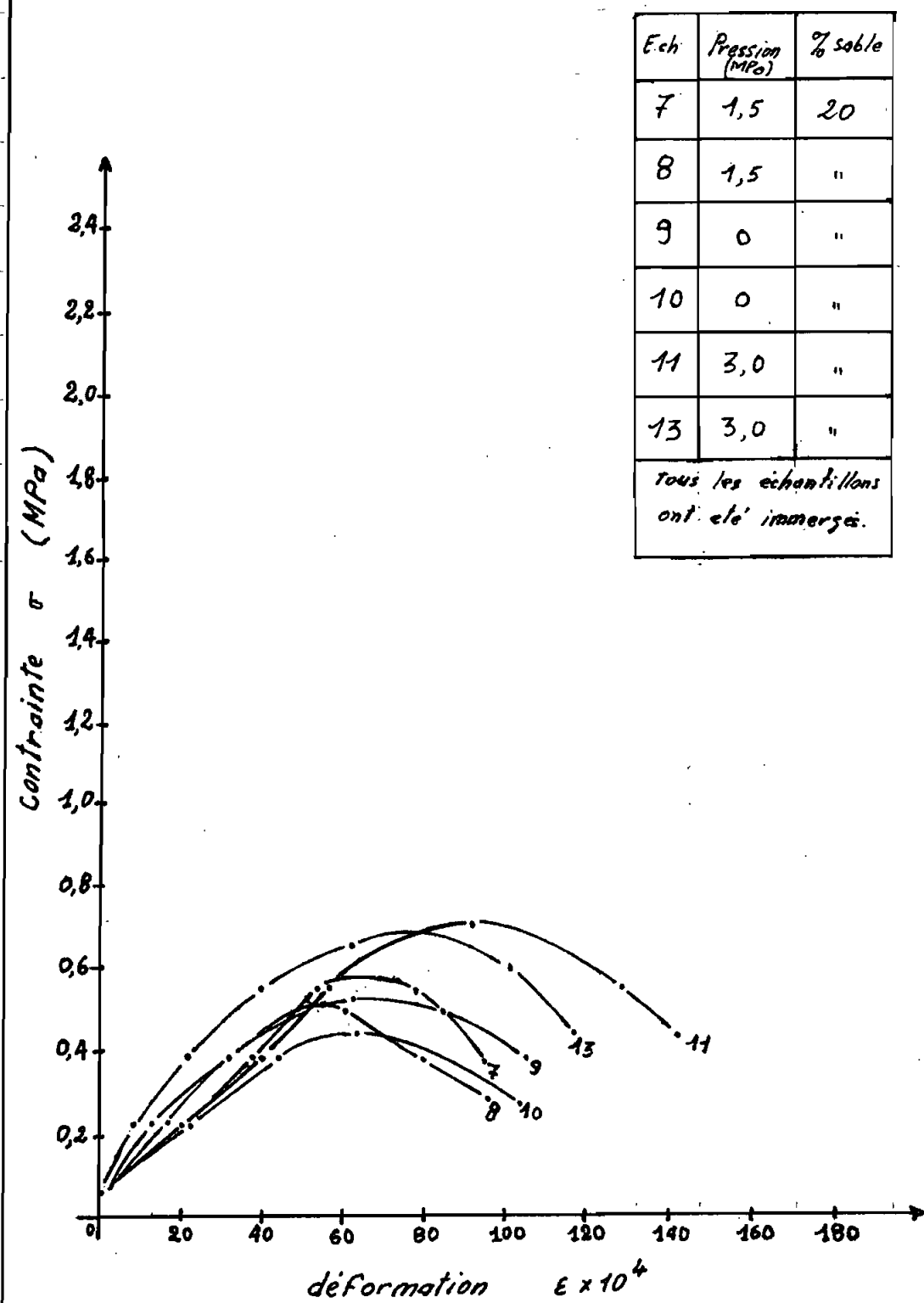


FIG. 5.4 : Courbes contrainte - déformation

Influence de la pression de compactage  
(Cylindres standards)

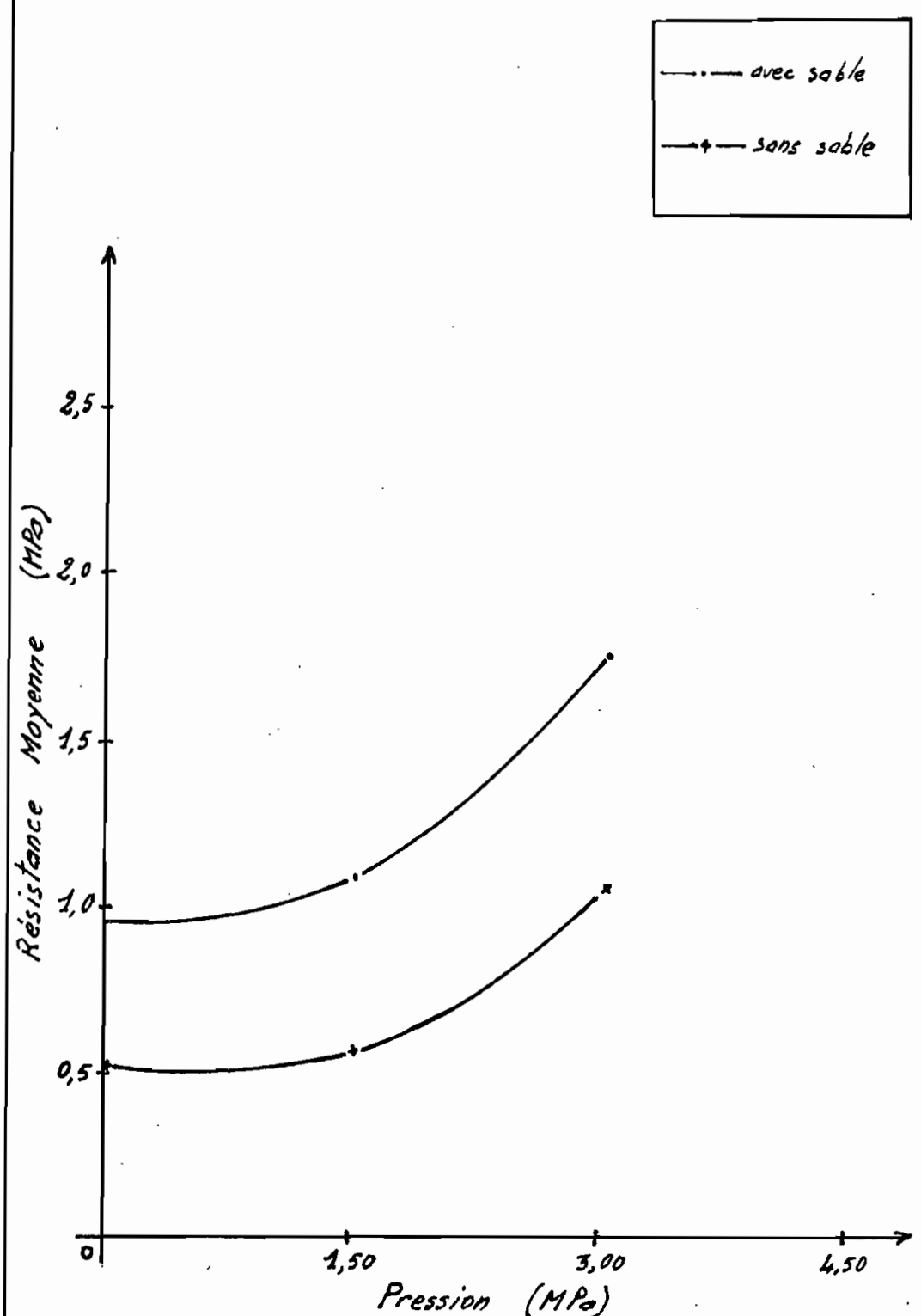


FIG. 5.5 : Courbe Résistance - Pression

Influence du sable et de la pression

(cylindres standards)

5.2.3

### Influence de l'immersion

42

#### L'immersion des échantillons

cause une baisse très sensible de la résistance à la compression simple des cylindres. Cette baisse qui est de l'ordre de 50% peut s'expliquer par le fait que

- l'eau diminue la cohésion entre les particules; en effet les particules fines en percolant l'eau cohésion atténuent les liaisons mécaniques entre particules
- Une raison, moins nette néanmoins, est que la présence d'eau dans les pores de l'échantillon entraîne des pressions interstitielles qui peuvent être importantes si l'inolice démolie est assez élevée

Voir fig 5.6

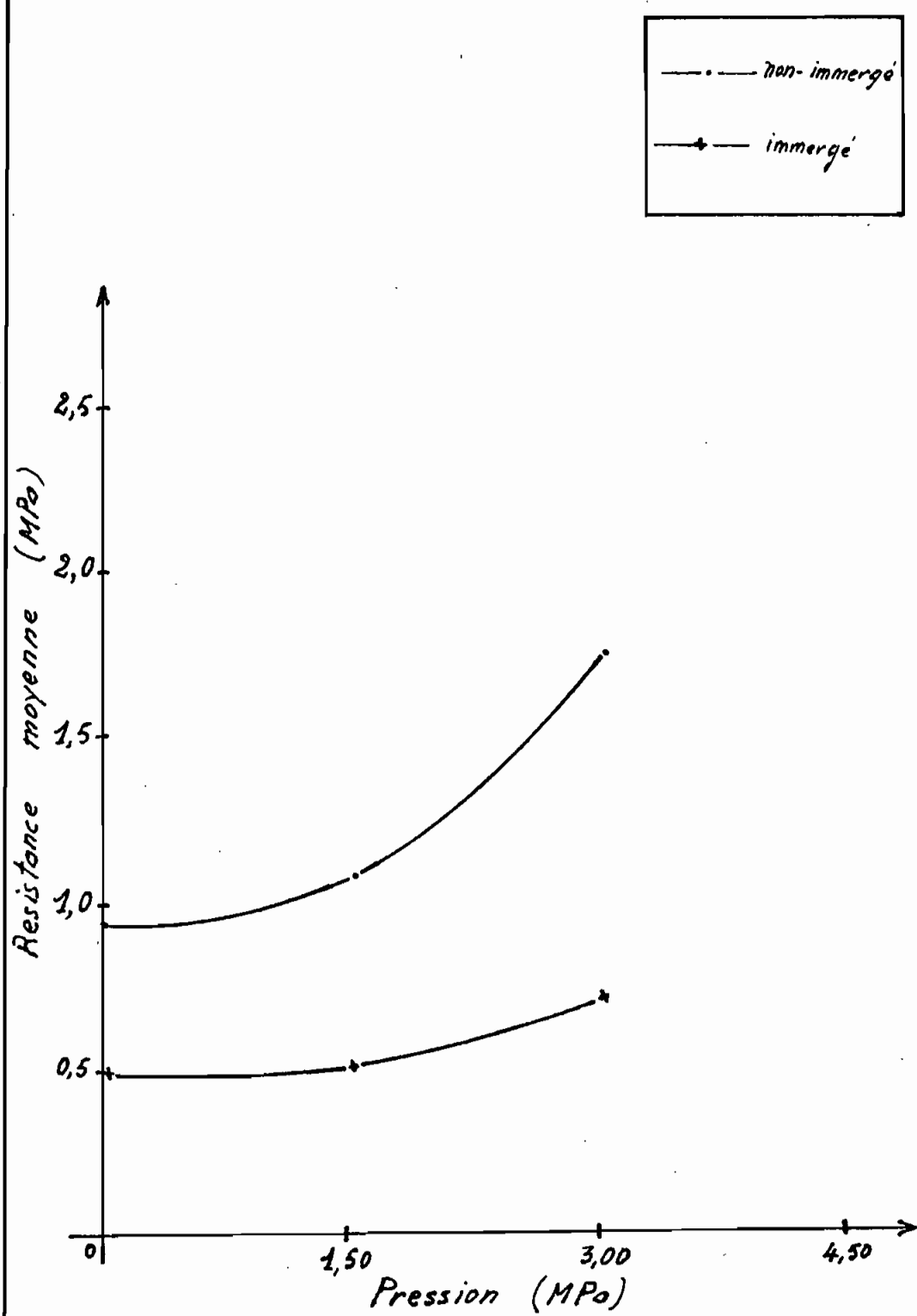


Fig. 6.6 : Courbes Resistance - Pression

Influence de l'immersion et de la pression

(cylindres standards)

### 5.2.4 Influence de la cure

44

Selon les quatre essais comparés (fig 5.7) il apparaît que le gain de résistance pour des échantillons ayant reçu une cure de jours n'est pas important. Ce gain est d'environ 7%. Ce faible gain peut être expliqué par le fait que le but essentiel de la cure est de permettre une hydratation complète du ciment et la teneur en eau du Gobetron gris expérimenté selon le rapport eau/ciment de la technologie du béton dépasse largement les normes (on obtient 2,67) et apparaît sous un aspect inadéquat mais néanmoins il faut savoir que les échantillons qui n'ont pas reçu de cure ont été séchés à l'ombre. Des études menées dans la phase 1 du projet ont montré que par rapport aux échantillons séchés au soleil, on obtient un gain de résistance de 27% pour les échantillons séchés à l'ombre. En conclusion, pour cette partie, nous pouvons dire que la cure est importante car elle permet de minimiser les fissures de retrait et permet d'obtenir des gains relativement importants de résistance.

ech	% élast.	Pression (MPa)	Cure
6	20	1,5	cure non-imm.
12	"	1,5	non-cure non-imm.
8	"	1,5	cure immersé
14	"	1,5	non-cure immersé

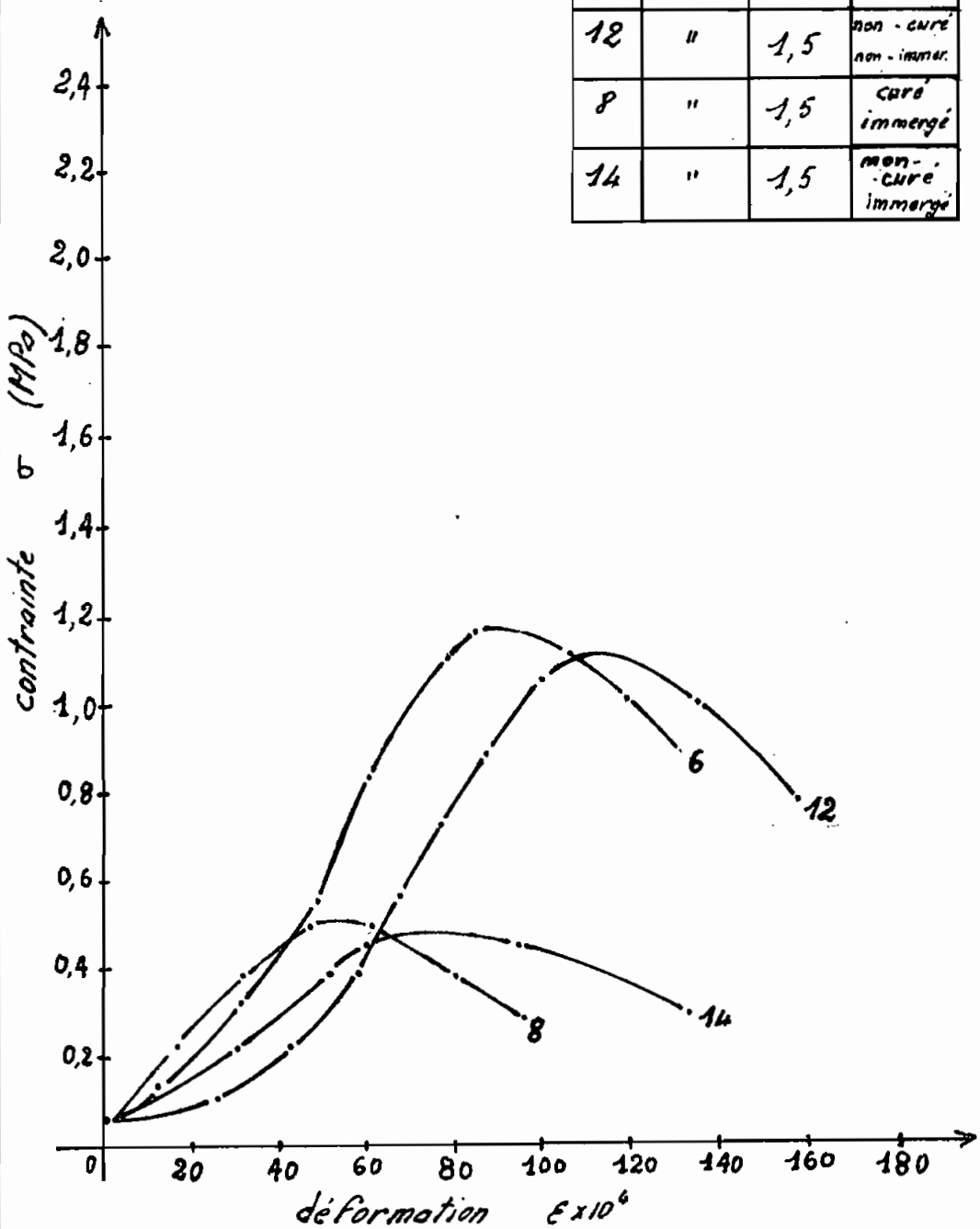


Fig. 5.7 : Courbes Contraintes - déformation  
Influence de la cure  
(cylindres standards)

### 5.2.5 Influence de la densité

La figure (5.9) montre très nettement l'influence de la densité sur la résistance en compression simple des cylindres ; en effet cette dernière est d'autant plus élevée que le matériau est dense. Ces résultats sont confirmés par divers auteurs (Ex: Le Cratère)

Les paramètres contrôlant la densité doivent donc être bien contrôlés ; ces paramètres sont :

- l'énergie de compactage
- l'eau de gachage
- le mode de compactage (voir fig 5.8)
- la granulométrie du sol.

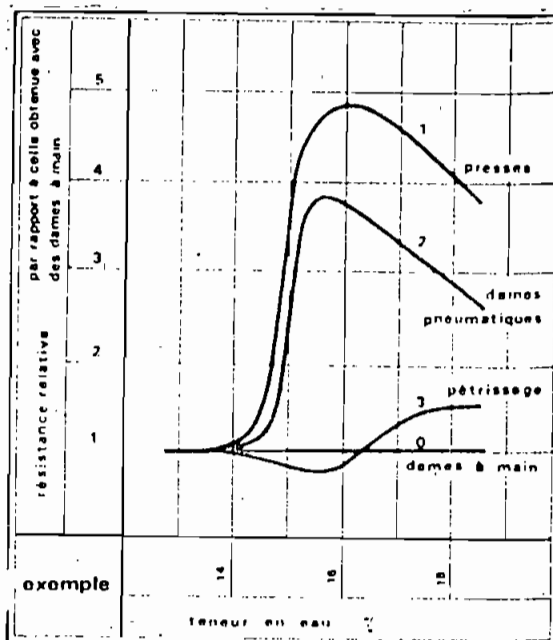


FIG. 5.8 Influence du mode de compactage

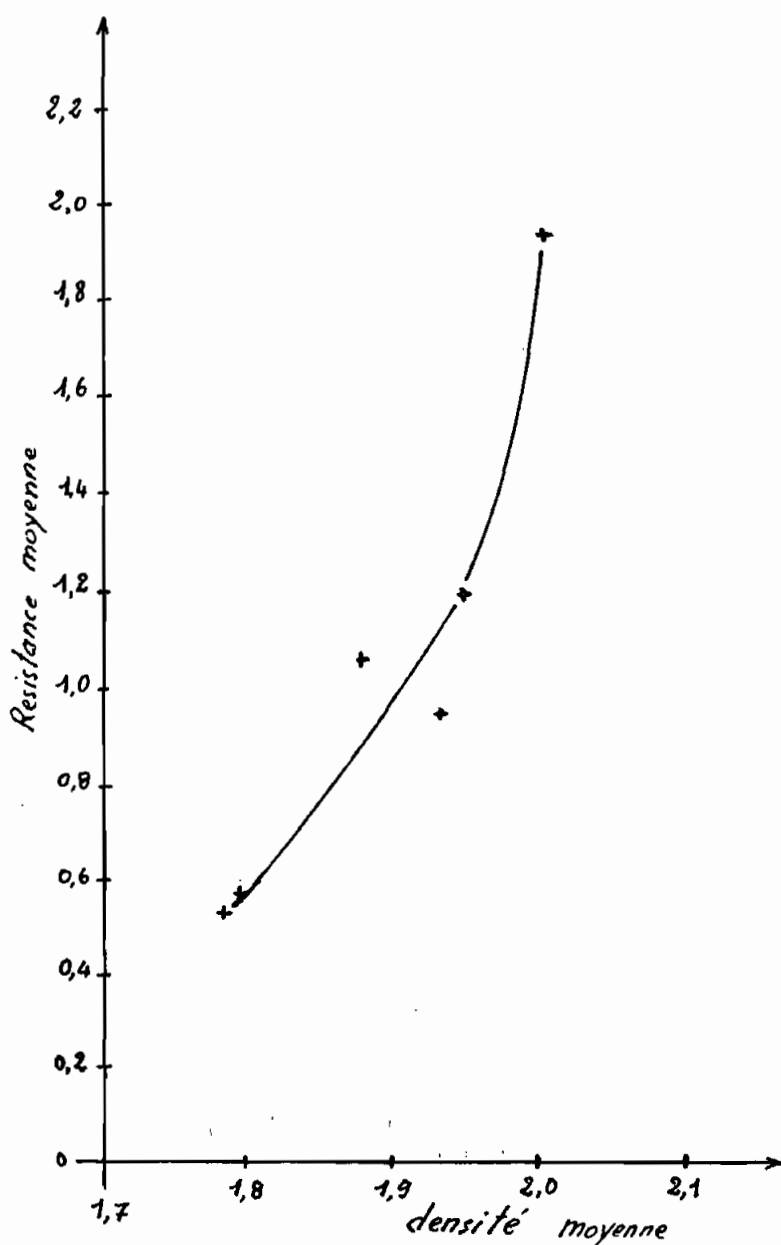


Fig 5-9 : Courbe Resistance - Densité  
Influence de la densité  
(cylindres standards)

TABLEAU 5-6 : Influence de la densité sèche

(tiré du rapport de la phase 3)

Designation	DENSITÉ SÈCHE à 28 jours $\delta_d$ ( $\text{g/cm}^3$ )	Résistance max à 28 jours $\sigma_{\max}$ ( $\text{daN/cm}^2$ )
3V - 4 - 16	1,93	15,6
1P - 4 - 16	1,93	12,8
2P - 4 - 16	1,82	9,1
3V - 4 - 19	1,89	12,1
2P - 4 - 19	1,85	4,6
1P - 4 - 19	1,85	4,8
2P - 4 - 22	1,85	2,8
1P - 4 - 22	1,82	2,9
3V - 4 - 22	1,80	2,2
1P - 5 - 16	1,91	17,8
2P - 5 - 16	1,95	17,6
3V - 5 - 16	1,76	6,4
2P - 5 - 19	1,87	7,1
1P - 5 - 19	1,86	6,7
3V - 5 - 19	1,90	4,6
2P - 5 - 22	1,82	4,4
3V - 5 - 22	1,82	4,0
1P - 5 - 22	1,83	3,5
3V - 6 - 16	1,93	23,7
2P - 6 - 16	1,87	16,9
1P - 6 - 16	1,86	15,3
3V - 6 - 19	1,99	10,4
1P - 6 - 19	1,98	9,2
2P - 6 - 19	1,97	8,8
3V - 6 - 22	1,92	7,9
2P - 6 - 22	1,91	6,7
1P - 6 - 22	1,94	6,6
Ciment		

\* V = Vibru'

\* P = Pilonnu'

### 5.2.6 : Essai d'erosion

Nous avons effectué cet essai pour simuler l'effet de la précipitation sur la brique.

La pression est de 27,60 KN (Vitesse 7,43 m/sec)

La durée est de 33 heures

Un trou de 1cm a été aménagé sur la brique avant l'application du jet. Après le test nous avons constaté une augmentation du trou de 1mm. Si nous considérons également que nos cylindres n'étaient bien comportés durant l'immersion (aucun phénomène de décollage n'a été constaté) nous pouvons dire que la brique stabilisée face à l'averse et d'une manière générale face à l'eau (en ce qui concerne l'erosion).

### 5.2.7 : Analyses des résultats obtenus

#### Sur les briques

(Voir chapitre 6)

## chapitre 6 : Application Pratique

### 6.1 : Forme des briques

Les essais de laboratoire ont été réalisés essentiellement sur des cylindres standards, des briques creuses et des briques plates de mélange ayant servi à la confection des briques est composé de la cendre (<sup>amidon de</sup> particules < 6 mm) de 20 % de sable (par rapport au poids de la cendre) de 6 % de ciment (par rapport au mélange latente+sable). La teneur en eau dans mélange est d'environ 18,5 %. Les difficultés rencontrées lors de la confection des briques et les résultats obtenus nous ont permis de dresser les avantages et les inconvénients que présente chaque forme de brique.

#### 6.1.1) briques creuses

La forme du moule qui a l'intérieur de la brique des volumes de vide qui représentent environ 23 % du volume d'une brique pleine soit  $2753 \text{ cm}^3$ ; la brique pleine ayant  $12000 \text{ cm}^3$  de volume. Les dimensions des briques sont données par la figure suivante

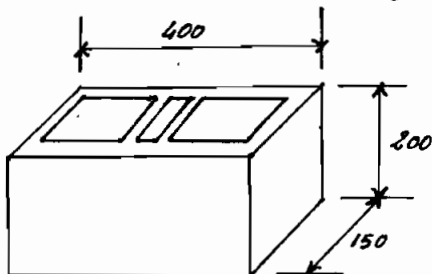


Fig 6.1.A : Forme de la brique creuse

Les inconvenients que presentent les briques creuses sont multiples :

- le risque de démolage, ceci au coefficient de frottement élevé entre les parois du moule et les faces de la brique, a pour parti bien que nous ayons utilisés des moules aux parois latérales légèrement évasées et lubrifiés
- la difficulté d'effectuer un compactage comparable à celui des cylindres, n'est fait sentir au niveau de la densité des briques et par conséquent au niveau de la résistance mécanique obtenue
- La manutention des briques s'avère délicate à cause de la faible épaisseur des parois (3,5cm)

Toutefois les briques creuses présentent certains avantages

- l'économie de matériau réalisée grâce aux vides est très appréciable; ce qui rend la brique plus légère qu'une brique pleine de même dimensions
- Le moule de ce genre de briques est très disponible sur le marché.

### 6.1.2 ) des briques plates

Les briques plates ont été confectionnées avec le moule utilisé pour les briques creuses en prenant toutefois soin de remplacer la partie centrale par une plaque. Les briques obtenues ont comme dimensions :  $600 \times 150 \times 200$

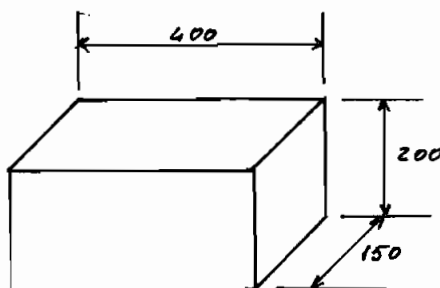


fig. 6.1.8 : brique plate

Les avantages des briques plates sont les suivantes

- elles sont plus performantes que les briques creuses. ce fait pouvant être expliqué par l'absence de parois minces
- la compaction est plus aisée
- la grosseur des agrégats est moins limitée que pour les briques creuses dont les parois sont minces
- elles sont plus faciles à démolir

Néanmoins nous avons relevé quelques inconvénients

- les briques plates sont relativement lourdes et occasionnent une plus grande consommation de matériaux

### 6.1.3 Discussion sur la forme adéquate

En faisant le bilan des avantages et inconvenients des deux formes de briques on se rend compte que la brique pleine présente plus d'avantages que la brique creuse et moins d'inconvénients. Ces déductions sont confirmées par de nombreuses études effectuées par l'UNESCO (DAKAR - Mars 1983). Selon cette étude un mur en parpaings pleins est plus résistant et coûte à peu près le même prix qu'un mur bâti avec des parpaings creux. Leurs expériences ont prouvé que les parpaings creux exigent plus de mortier et entretiennent plus de fentes.

Nous proposons pour la construction l'utilisation de briques pleines de dimensions plus réduites que celles testées en laboratoire. On conviendra ainsi des difficultés de manutention liées au poids excessif des briques. Les dimensions que nous proposons sont les suivantes :  $285 \times 135 \times 85$

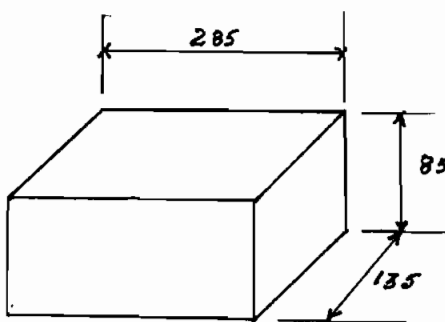


Fig 6.1.8 : dimensions de la brique proposé

les briques ainsi dimensionnées peuvent être considérées comme des modules et permettent donc plusieurs arrangements (Voir fig 6.1. c)

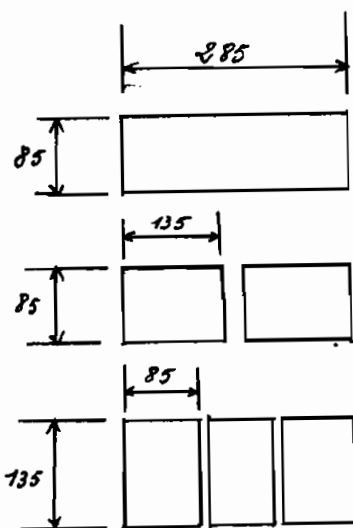


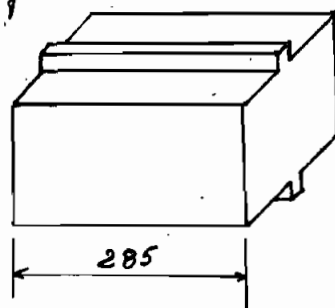
fig 6.1-c : dimensions et arrangements possibles des briques

Ces dimensions sont toutefois différentes de celles des briques du projet PNNUO de Thies ( $110 \times 137 \times 292$ ) et du projet BREDA UNESCO à Bakel ( $70 \times 110 \times 260$ ). Celles conçues par le PNNUO sont recouvertes sur les deux grandes faces d'un enduit très riche en ciment et les peintures de l'unesco qui à l'origine avaient une forme parallélepipedique ont été transformées en une forme plus complexe mais mieux adaptée à la construction d'un coupole conique  $\rightarrow$

Pour les briques de fondations il serait tout de même plus sécuritaire de les enduire avec un mortier de ciment plus riche pour atténuer l'influence de l'immersion.

Etant donné que la toiture étudiée est une coupole on devra donc disposer les briques perpendiculairement au rayon de cette coupole, ce qui nous amène soit à trouver un système pour maintenir les briques en place jusqu'à ce que toutes les briques d'une rangée soient posées, ou alors concevoir une forme de briques qui empêcherait leur glissement vers l'intérieur de la coupole. Nous proposons les deux formes suivantes

1<sup>re</sup> forme



2<sup>e</sup> forme

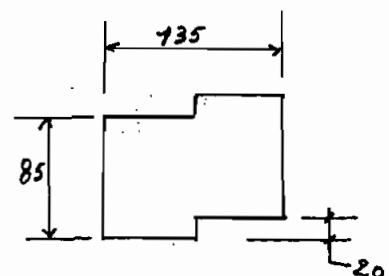
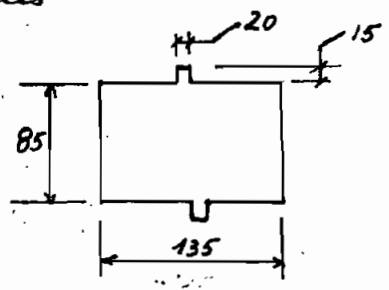
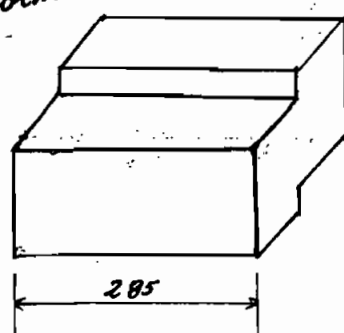


Fig:6.1.0 Formes de briques proposées

## 6.2 : Utilisation de la brique pour une coupole

### 6.2.1 Analyse structurale

Pour la détermination des efforts engendrés dans le dôme nous utilisons les formules qui ont été proposées dans la phase 3 du projet. Nous vous présentons un résumé des formules utilisées.

a) Les efforts de membrane sont obtenus en utilisant les formules développées dans la théorie de la membrane soit

$$N'_\phi = - \alpha P \frac{1}{1 + \cos \phi} \quad (6-1)$$

$$N'_\theta = \alpha P \left( \frac{1}{1 + \cos \phi} - \cos \phi \right)$$

$N'_\phi$  = effort suivant le meridien  
(unité de force/unité de longueur).

$N'_\theta$  = effort suivant le cercle parallèle  
(mêmes unités que  $N'_\phi$ )

$\alpha$  = rayon du dôme

$P$  = Poids propre par unité de surface

b) Les déplacements dus aux efforts de membrane

$$\Delta_H = \frac{\alpha^2 q}{E h} \left( \frac{1 + V}{1 + \cos \phi} - \cos \phi \right) \sin \phi$$

$$\Delta_\phi = \frac{\alpha q}{E h} (2 + \nu) \sin \phi \quad (6.2)$$

57

avec  $E$ : module de young

$h$ : épaisseur du dôme

$\nu$ : module de poisson

l'effort de ceinture peut être représenté par la superposition suivante

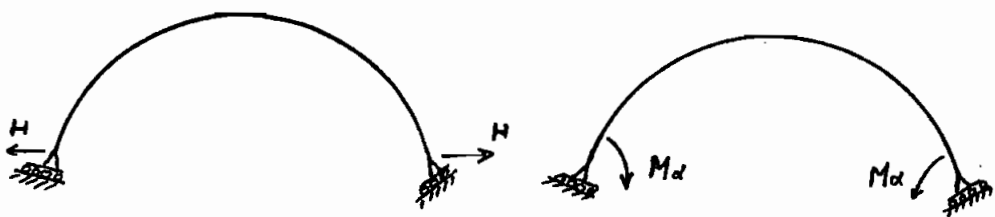


Fig 6.2

des efforts résultant de cette approche qui considère la flexion incluant des déplacements donnés par les relations suivantes :

$$\text{Pour } M_d : \Delta\alpha = \frac{4\lambda^3 M_d}{Eah} \quad (5.3)$$

$$\Delta_H = \frac{2\lambda^2 \sin \alpha H}{Eh}$$

$$\text{Pour } H : \Delta\alpha = \frac{2\lambda^2 \sin \alpha H}{Eh} \quad (5.4)$$

$$\Delta_H = \frac{2\alpha \lambda \sin \alpha H}{Eh}$$

$\lambda$  est défini par la relation

$$\lambda^4 = 3(1 - \nu^2) \left(\frac{a}{\alpha}\right)^2$$

et les angles  $\phi, \alpha, \psi$  sont représentés dans le schéma suivant

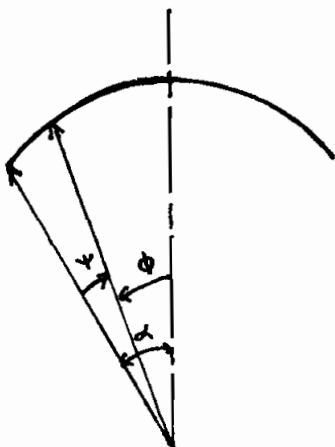


fig 6.3

c) Utilisation de la méthode des forces

sur le système suivant (fig 6.3)

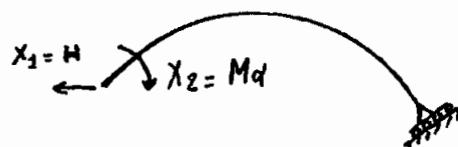


figure 6.3

on obtient la relation suivante

$$\{D_x\} = \{D_{xL}\} + [f] \{X\}$$

$D_x$  = déplacement rel à l'enclôture où  $X$  est appliquée

$X$  = force redondante

$f$  = déplacement du à une force unitaire

$D_{xL}$  = déplacement du à la théorie de la monogone

### 6.2.2 Exemple de calcul

La densité moyenne des briques plates est de 1,624  
on a donc pour  $h = 0,15 \text{ m}$   $\rho = 238,97 \text{ daN/m}^2$

Soit un rayon  $a = 1,5 \text{ m}$

a) contraintes de membrane

les valeurs de  $N_\theta'$  et  $N_\phi'$  sont calculés à l'aide de la relation 6.1. les contraintes  $\sigma_\theta$  et  $\sigma_\phi$  qui en résultent sont compilées dans le tableau 2

b) corrections de compatibilité

la norme canadienne CAN3-A23.3-77 nous donne de plus que  $V=0$ . les déplacements engendrés par les efforts sont

$$\Delta_H = \frac{a^2 \rho}{Eh} \left( \frac{1+V}{1+\cos\phi} - \cos\phi \right) \sin\phi$$

$$\phi = \omega = 90^\circ$$

$$\Rightarrow \Delta_H = \frac{1,25 \times 238,97}{E \times 0,15} \left( \frac{1}{1} - 0 \right) = \frac{3586,55}{E}$$

$$\Delta\phi = \frac{a \rho}{Eh} (2+V) \sin\phi$$

$$\Delta\phi = \frac{1,5 \times 238,97}{E \times 0,15} (2+0) 1 = \frac{4779,6}{E}$$

on calcule les déplacements des aux inconnues  $x_1$  et  $x_2$  lorsqu'elles ont des valeurs unitaires

$f_{ij}$  = déplacement en  $i$  du à  $j$

$f_{11}$  et  $f_{21}$  étant dépendant de l'inconnue  $x_1 = H$  sont calculés à l'aide des relations (5.4) avec  $H = 1$

$$\lambda^4 = 3(1 - \nu^2) \left(\frac{a}{h}\right)^2$$

$$\lambda = \sqrt[4]{3(1) \left(\frac{1,5}{0,15}\right)^2} = 4,162$$

$$f_{11} = \frac{2\alpha \lambda \sin^2 \alpha}{Eh} H = \frac{2 \times 1,5 \times 4,162 \times 1}{E \times 0,15} = \frac{83,44}{E}$$

$$f_{21} = \frac{2\lambda^2 \sin \alpha}{Eh} H = \frac{2 \times (4,162)^2 \times 1}{E \times 0,15} = \frac{230,96}{E}$$

$$f_{22} = \frac{4\lambda^3 M_h}{Eah} = \frac{4 \times (4,162)^3}{E \times 1,5 \times 0,15} = \frac{1281,69}{E}$$

$$f_{12} = \frac{2\lambda^2 \sin \alpha}{Eh} M_d = \frac{2 \times (4,162)^2 \times 1}{E \times 0,15} = \frac{230,96}{E}$$

Équations de compatibilité des déformations

$$\sum D_H = 0 \rightarrow D_H + x_2 f_{12} + x_1 f_{21} = 0$$

$$\sum D_d = 0 \rightarrow D_d + x_2 f_{22} + x_1 f_{11} = 0$$

Le système d'équation suivant est obtenu

$$\begin{cases} 230,92x_2 + 83,24x_1 = -3584,55 \\ 1281,69x_2 + 230,96x_1 = -6779,4 \end{cases}$$

La resolution du système donne

$$\begin{cases} x_1 = -65,632 \frac{\text{dall}}{\text{m}} \\ x_2 = 8,062 \frac{\text{dall}}{\text{m}} \end{cases}$$

Pour la détermination des valeurs de  $N_\phi$  et  $M_\alpha$   
le Tableau 6-4 (tiré de la référence 3 Bellington p.65)

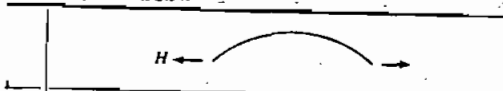
		
$N_\phi$	$-\sqrt{2} \cot(\alpha - \psi) \sin \alpha e^{-\lambda \psi} \sin\left(\lambda \psi - \frac{\pi}{4}\right) H$	$-\frac{2\lambda}{a} \cot(\alpha - \psi) e^{-\lambda \psi} \sin(\lambda \psi) M_\alpha$
$N_\theta$	$-2\lambda \sin \alpha e^{-\lambda \psi} \sin\left(\lambda \psi - \frac{\pi}{2}\right) H$	$-\frac{2\sqrt{2} \lambda^2}{a} e^{-\lambda \psi} \sin\left(\lambda \psi - \frac{\pi}{4}\right) M_\alpha$
$M_\phi$	$\frac{a}{\lambda} \sin \alpha e^{-\lambda \psi} \sin(\lambda \psi) H$	$\sqrt{2} e^{-\lambda \psi} \sin\left(\lambda \psi + \frac{\pi}{4}\right) M_\alpha$
$\Delta_H$	$\frac{2a\lambda \sin^2 \alpha}{Eh} H$	$\frac{2\lambda^2 \sin \alpha}{Eh} M_\alpha$
$\Delta_\alpha$	$\frac{2\lambda^2 \sin \alpha}{Eh} H$	$\frac{4\lambda^2 M_\alpha}{Eah}$

Tableau 6-4 : Valeurs de  $N_\phi$ ,  $N_\theta$ ,  $M_\phi$ ,  $\Delta_H$ ,  $\Delta_\alpha$

### c) effet de la température

Sous l'effet de la température on a un déplacement lateral donné par la relation

$$\Delta_H = r_0 T \epsilon$$

$$\Delta \alpha = 0$$

avec  $r_0 = a \sin \alpha$

$T$  = différence de température

$\epsilon$  = coefficient de dilatation

les valeurs suivantes seront prises :  $\epsilon = 9,9 \times 10^{-5} / ^\circ C$

$$T = 21,2^\circ C \text{ (ambiance)}$$

$$r_0 = 9 \sin 90 = 1,5 m$$

on obtient  $\Delta H = -1,5 \times 21,2 \times 9,3 \cdot 10^{-6} = -314,82 \cdot 10^{-6}$

En multipliant  $\Delta H$  par le module de young

on obtient

$$E\Delta H = 314,82 \cdot 10^{-6} \times 25 \cdot 10^9 = -7870,5$$

(avec  $E = 2500 \text{ dali/cm}^2$ )

les équations de compatibilité donnent

$$\begin{cases} 230,96 X_2 + 83,24 X_1 = 7870,5 \\ 1281,63 X_2 + 230,96 X_1 = 0 \end{cases}$$

$$\Rightarrow \begin{cases} X_1 = 183,10 \\ X_2 = -34,076 \end{cases}$$

En utilisant le tableau 6.1 on pourra déterminer les contraintes dues à la température ces contraintes sont compilées dans le Tableau

### 6.3 : Tableaux de réserves

les tableaux 6.2, 6.3 et 6.4 donnent "pour différents rayons de coupole, les valeurs des contraintes de membrane, de compatibilité des déformations, de température ainsi que les contraintes maximums qui s'exercent sur la coupole"

TABLEAU 6.2 : Tableau susceptibilité des contraintes pour  $a = 1,5m$   
 en (MPA)

$\phi$	a) contraintes de membrane ( $M$ )	b) corrections de compatibilité (c)		c) effets de la température ( $T$ )		M + c + T		efforts maximums $\max[M+c+T; M+c]$	
		$\sigma_\phi$	$\sigma_\theta$	$\sigma_\phi$	$\sigma_\theta$	$\sigma_\phi$	$\sigma_\theta$	$\sigma_\phi$	$\sigma_\theta$
90°	-0,026	0,024	0	-0,024	0	0,052	-0,024	0,052	0,052
80°	-0,020	0,016	-0,0002	-0,013	0,0008	0,036	-0,0194	0,039	0,039
70°	-0,018	0,0096	0,00007	-0,0035	0,001	0,014	-0,017	0,020	-0,018
60°	-0,016	0,006	0,0003	0,00039	-0,0005	0,0015	-0,016	0,0059	-0,016
50°	-0,015	-0,0008	0,0002	0,0011	-0,0006	-0,0021	-0,015	-0,0018	-0,015
30°	-0,013	-0,006	0,00001	0,0002	0,00005	-0,0006	-0,013	0,006	-0,013
0°	-0,012	-0,012	0	0	0	-0,012	0,012	-0,012	-0,012

TABLEAU 6.3 : Tableau recouvrantif des contraintes pour  $\alpha = \varepsilon_{0m}$   
en (MPA)

$\phi$	$a)$ contraintes de membrane ( $M$ )	$b)$ corrections de compatibilité ( $c$ )		$c)$ effets de la température ( $T$ )		$M + C + T$		Efforts maximums $\max[M + C + T ; M + c]$	
		$\sigma_\phi$	$\sigma_\theta$	$\sigma_\phi$	$\sigma_\theta$	$\sigma_\phi$	$\sigma_\theta$	$\sigma_\phi$	$\sigma_\theta$
90°	-0,032	0,032	0	-0,029	0	0,052	-0,032	0,055	-0,032
80°	-0,027	0,022	0,0027	-0,014	0,00057	0,032	-0,0237	0,04	-0,0243
70°	-0,024	0,013	0,0001	-0,0028	-0,00008	0,0084	-0,024	0,0186	-0,024
60°	-0,021	0,0053	0,00021	-0,0018	-0,00041	0,0052	-0,0212	0,0087	-0,0212
50°	-0,019	-0,0011	0,00014	0,00112	-0,00032	-0,0018	-0,0192	-0,0022	-0,0192
30°	-0,017	-0,0073	0,0003	0,00005	0,00004	-0,0002	-0,0166	-0,0075	-0,017
0°	-0,016	-0,016	0	-0,00008	0	0,00003	-0,016	-0,016	-0,016

TABLEAU 6.4 : Tableau récapitulatif de contraintes pour  $\alpha = 2,5\text{m}$   
 (Contrainte en MPa)

$\Phi$	a) contraintes de membrane ( $M$ )	b) corrections de compatibilité ( $c$ )		c) effets de la température		$M + C + T$		Efforts maximums $\max[M + C + T; M + C]$	
		$\sqrt{\Phi}$	$\sqrt{\Phi}$	$\sqrt{\Phi}$	$\sqrt{\Phi}$	$\sqrt{\Phi}$	$\sqrt{\Phi}$	$\sqrt{\Phi}$	$\sqrt{\Phi}$
90°	-0,040	0,040	0	-0,040	0	0,052	-0,040	-0,028	-0,040
80°	-0,034	0,027	-0,00017	-0,017	0,0004	0,029	-0,0338	0,039	-0,034
70°	-0,030	0,016	-0,00067	-0,0010	0,00076	0,0053	-0,0299	0,0195	-0,031
60°	-0,027	0,0066	0,00021	0,0018	0,00032	-0,00196	-0,026	0,0164	-0,027
50°	-0,024	-0,0014	-0,00011	-0,00011	0,00021	-0,0018	-0,0239	-0,0033	-0,024
30°	-0,021	-0,0092	-0,00004	-0,00004	0,00005	0,00009	-0,0209	0,0093	-0,021
0°	-0,020	-0,000	0	0	0	0,00008	-0,020	-0,020	-0,020

## 6.4 : Analyse des résultats

### 6.4.1 : Facteur de sécurité

dans le domaine de la construction, il est d'usage d'appliquer certains coefficients réducteurs à la résistance moyenne du matériau; ces coefficients de sécurité sont appliqués pour tenir compte du

- coefficient de sécurité proportionnel dit que dépend de
  - + la disposition des résistances du matériau
  - + de l'exécution
  - + de l'accroissement accidentel des surcharges
- coefficient de réduction qui dépend de
  - + la nature du matériau
  - + la résistance du mortier de lixivage
  - + de l'élongement du mur
  - + du mode de chargement etc...

Pour simplifier nous nous sommes limités à définir un coefficient de sécurité lié à

- la possibilité d'inondation de nos paysages (surtout au niveau de la fondation)

- dispersion des résistances du matériau
- facteur de forme
- combinaison de contraintes

a) coefficient de sécurité pour tenir compte des possibilités d'immersion

Les tests effectués sur la latente brune de Thiers ont montré que la résistance des cyclones diminuait de moitié lorsqu'ils étaient immersés. Nous proposons à partir de là un facteur de sécurité de  $\frac{2}{3}$ . Notons tout de même que ce facteur pourrait être diminué si on applique un enduit superficiel riche en ciment sur les faces latérales de la brique.

b) coefficient de sécurité lié à l'aspect localisé des résistances

Une étude des résistances obtenues sur les briques plates montre que les variations ne sont pas très importantes comparativement aux briques creuses, ce qui peut être expliqué par les possibilités d'uniformisation du compactage sur toute la surface de la brique →

Nous proposons à ce niveau un facteur de sécurité de l'ordre de 1,5

c) Facteur de Forme

des essais réalisés en vrai grandeur au laboratoire du bâtiment et des travaux publics de Côte d'Ivoire ont permis de comparer les résistances obtenues sur les papaings aux résistances obtenues sur des piliers de hauteur variable. Ces essais aboutissent à la recommandation d'un coefficient réducteur de 4 pour un mur de 3 mètres. Mais pour le dôme, en attendant que des tests en vrai grandeur déterminent ce facteur, nous proposons un facteur de sécurité de 2

d) combinaison de contraintes

la nécessité d'appliquer un coefficient de sécurité à ce niveau est due à deux

- possibilité d'une augmentation accidentelle de charge

- la combinaison des contraintes défavorables (Voir critères de Von Mises et TRESCA)

Nous proposons à ce niveau un  $F_S = 2$

Le coefficient de réduction global est donc égal à 12 ( $1,5 \times 2 \times 2 \times 2$ )

A titre de comparaison, notons que le laboratoire du bâtiment et des travaux publics de Côte d'Ivoire propose cette valeur de 12.

Il est également utile de préciser que l'utilisation d'un enduit superficiel très riche en ciment permettrait de diminuer ce coefficient de réduction de la résistance en ce sens qu'il diminuerait la sensibilité de nos briques à l'eau.

#### 6-4-2 Apétude de nos briques à supporter ces contraintes

La résistance moyenne à la compression des briques pleines est de 0,59 MPa. Les tests effectués dans la phase 3 ont montré que la résistance à la tension est de 10% de de la valeur trouvée pour la compression soit 0,059 MPa.

En appliquant un coefficient de réduction de 12 on obtient :

Pour la résistance en compression 0,049 MPa

Pour la résistance en tension 0,0049 MPa

En ce qui concerne l'aptitude des briques en latérite stabilisée à la construction d'une coupole les constats suivants peuvent être faits :

- Pour des coupoles de rayon de 1,5 m ; 2 m et 2,5 m la latérite brune stabilisée à 62% de ciment peut supporter les contraintes qui sollicitent la coupole pour un angle d'ouverture maximal de  $50^\circ$ . Nous obtenons donc ce cas uniquement des efforts de compression
- Les efforts de tension gouvernent généralement l'aptitude des briques à la construction d'une coupole.
- La sollicitation maximale de compression est de 0,04 MPa or les briques peuvent supporter des contraintes de 0,049 MPa

## Conclusions - Recommandations

Au terme de cette étude les conclusions suivantes se dégagent :

- La densité et tous les paramètres qui l'en sont liés (granulométrie, enrouge de compactage, mode de compactage, teneur en eau de gaillage) jouent un rôle très important sur la résistance mécanique ; nous constatons, en effet, que l'amélioration de la granulométrie et de la densité par l'ajout de sable et compaction permet de quadrupler la résistance mécanique
- L'immersion est un phénomène assez critique pour les blocs de latérite stabilisé scié ; les essais effectués à ce niveau dans le cadre du projet et ceux effectués par d'autres chercheurs (le croton, J.M. Gresillon) montrent que la résistance à la compression simple diminue de moitié environ pour les blocs dorés à 5% ou 6% de ciment
- les briques résistent néanmoins à l'érosion
- les cylindres non compactés mécaniquement sont également moins performants que les briques pleines
- l'analyse de la nature et de la valeur

des contraintes qui sollicitent la coupole sphérique, qui est la forme de toit que nous avons choisi d'étudier, montre que généralement ce sont les sollicitations de tension qui gouvernent l'aptitude des briques en béton à être utilisées pour la construction.

- Pour les différents diamètres de coupole étudiés (3m, 6m, 9m) et pour des angles maximums  $\phi = 50^\circ$  la brique de latérite stabilisée est suffisamment résistante.

Nous soulignons également que pour la construction deux formes de briques (Voir fig. ) sont proposées. La technologie de construction consiste à poser les briques par rangées en maintenant la face intérieure perpendiculaire au rayon de la coupole. Un bon choix de dimensions pour les briques peut rendre utile l'utilisation d'un coffrage.

Nous recommandons pour la suite du projet des essais en vrai grandeur qui permettent de déterminer le facteur de sécurité effectif.

Pour conclure, nous pouvons dire que la construction d'une habitation villageoise entièrement en latérite stabilisé est possible en suivant que des études plus approfondies sur l'aptitude de ce matériau à la stabilisation soient faites, à une échelle régionale et nationale, pour définir des critères pratiques de choix de matériaux (texture, granulométrie, etc.).

recuperation du matériau) et de technologie de construction basé sur les deux principes suivants

73

- technologie simple
- l'investissement humain est prépondérant par rapport à l'achat de certains matériaux (armature, bois de coffrage etc...)

ANNEXES

## Liste des Tableaux en Annexe

Tableau A1	densité optimale du mélange latérite-sable
" A2	" " " " " "
" A3	Granulométrie latérite sèche + 20% sable
" A4	" " " + 20% de sable
" A5	" " " sans sable
" A6	Tableau de mesures pour l'essai Proctor
" A7	contraintes - déformations
" A8	" "
" A9	" "
" A12	" "
" A13	influence de l'immersion et de la pression
" A14	influence du sable et de la pression
" A15	influence de la densité
" A16	" de la température en eau de compactage

Densité optimale du mélange latérite-sable

Tableau A1 : Latérite brune

teneur en sable	0%	5%	10%	15%	20%	40%	50%	55%	60%	100%
Poids ech. + moule	6,6	6,7	6,75	7,0	7,3	7,3	7,4	7,3	7,1	7,0
Poids échantillon	4,3	4,4	4,5	4,7	5,0	5,0	5,1	5,0	4,8	4,7
densité'	1,536	1,571	1,689	1,729	1,786	1,786	1,821	1,786	1,74	1,679

Tableau A2 : Latérite rouge.

teneur en sable	0%	15%	30%	35%	40%	50%	60%	70%	100%	
Poids ech. + moule	6,8	6,9	7	7,1	7,1	7,1	7,05	7,1	7,1	7,3
Poids échantillon	4,50	4,60	4,70	4,80	4,80	4,80	4,75	4,80	4,80	4,70
densité'	1,607	1,643	1,679	1,714	1,714	1,714	1,696	1,714	1,714	1,679

Le diamètre maximal des agrégats est de 9,5mm  
 Le moule a été rempli avec trois couches de matériau,  
 chaque couche a été compactée par 25 coups avec  
 le marteau servant à l'essai Proctor.

## ANALYSE GRANULOMÉTRIQUE

### Tamisage humide

L'expérience a été effectuée sur un mélange de latérite brune et de 20% de sable. La procédure de l'analyse est la suivante :

- tamiser le mélange à sec
- Imménger séparément le retenu de chaque tamis pendant 24 heures.
- Rincer à l'eau le retenu de chaque tamis dans les tamis de diamètre inférieur.
- faire sécher à l'étuve pour obtenir le poids nettoie

Tableau A3 : Latérite brune + 20% de sable

		tamis N°	diamètre (mm)	Poids retenus	% retenu	% passant
tamisage humide	Poids total du mélange sec	3/8	9,52	0	0	100
		4	4,76	169,79	18,11	81,89
		10	2,00	275,90	29,43	58,66
		20	0,84	66,76	7,06	45,4
	Teneur en eau initiale = 6,72	40	0,42	25,16	2,68	48,72
		60	0,250	78,43	8,39	36,33
		140	0,105	163,72	15,34	18,99
		200	0,074	50,41	5,37	13,62

ANALYSE GRANULOMÉTRIQUE

Tableau A4 : Latérite brune + 20% de sable

Tamisage à sec		tamis N°	Diamètre (mm)	Poids retenus	% retenus	% passant
Poids total du mélange 1000gr		3/8	9,52	10,60	1,1	98,9
		4	4,76	218,97	21,9	76,9
		10	2,00	351,56	35,2	41,6
		20	0,84	110,79	11,1	30,5
		40	0,48	44,23	4,4	26,1
		60	0,25	81,69	8,2	17,9
		140	0,105	119,94	12,0	5,9
		200	0,074	38,45	3,8	2,1
	Passant	0	20		8,0	0

ANALYSE GRANULOMETRIQUE

Tableau A5 : Latérite brune

Tamisage à sec		tamis N°	Diamètre (mm)	Poids retenu (gr)	% retenu	% passant
Poids total de la latérite 1000 gr	3/8	9,52	0	0	100	
	4	4,76	164	16,4	83,6	
	10	2,00	446	44,6	38,9	
	20	0,84	176	17,7	21,2	
	40	0,42	7,9	0,8	13,3	
	60	0,250	49	4,9	8,4	
	140	0,105	46,5	4,6	3,8	
	200	0,074	22,5	2,3	1,5	
	Passant	0	14	1,4	0	

ECOLE POLYTECHNIQUE  
LABORATOIRE DE GEOTECHNIQUE  
ESSAI DE COMPACTAGE

LG 10

B.F

IDENTIFICATION ESSAI PROCTOR

Page (79)

Recupéré \_\_\_\_\_ Echantillon l'argile brune + 20% sable Manipulateur \_\_\_\_\_

Moule n° \_\_\_\_\_ Calculé \_\_\_\_\_ Vérifié \_\_\_\_\_ Date \_\_\_\_\_ 19

CARACTERISTIQUES DE L'ESSAI

ASTM D 698

marteau 2.5 kg, 30.48 cm de chute

dia. 102 mm, < 4.75 mm méthode A

152 mm, < 4.75 mm  B

102 mm, < 19 mm  C

152 mm, < 19 mm  D

note n°2

ASTM D 1557

marteau 4.5 kg, 45.7 cm de chute

dia 102 mm, < 4.75 mm méthode A

152 mm, < 4.75 mm  B

102 mm, < 19 mm  C

152 mm, < 19 mm  D

note n°2

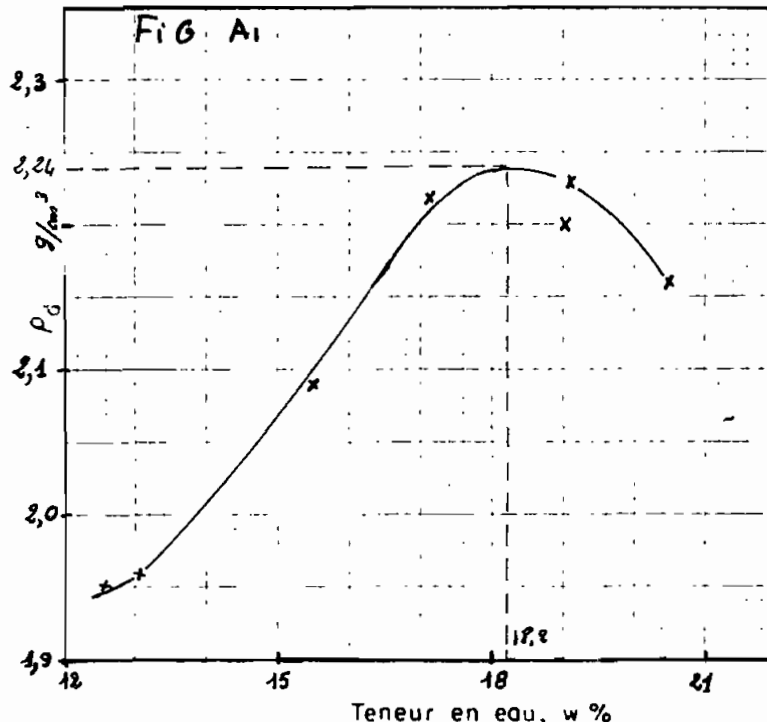


Tableau A 7

MASSE VOLUMIQUE

% d'eau ajoutée	4	6	7	8	9	10	12		
$W_T + T$ (g)	6.113	6.121	6.242	6.370	6.371	6.367	6.310		
T (g)	4.270	4.270	4.270	4.270	4.270	4.270	4.270		
$W_T$ (g)	1.863	1.851	1.972	2.100	2.101	2.077	2.040		
Volumé du moule (cm³)	943,9	943,9	943,9	943,9	943,9	943,9	943,9		
$P_d$ g/cm³	1,95	1,96	2,09	2,22	2,23	2,20	2,16		

TENEUR EN EAU

Capsule n°	$P_5$	$P_1$	$P_6$	$P_2$	$P_7$	$P_3$	$P_4$		
$W_T + T$ (g)	111,36	86,77	102,95	97,09	107,85	79,73	86,30		
$W_S + T$ (g)	101,39	77,53	91,87	69,04	94,07	70,37	75,40		
$W_w$ (g)	9,97	7,24	10,98	8,05	13,78	9,36	10,9		
Tore (g)	21,86	22,39	22,84	22,03	22,04	21,28	22,46		
$W_S$ (g)	79,53	55,14	70,54	47,02	72,03	49,09	53,94		
w %	12,54	13,13	15,56	17,12	19,13	19,07	20,59		

La teneur en eau optimale se situe environ à 18,2% pour une densité de 2,26

## PROPORTIONS DU MÉLANGE

Pour les quatorze premiers cylindres, qui contiennent 20% de sable, on a un poids moyen de 11,06 kg et une teneur en eau moyenne de 18,55 %

$$\bar{w} = 18,55 \%$$

$$\bar{P} = 11,06 \text{ kg}$$

$$\text{Volume des cylindres} = 5,3 \times 10^{-3} \text{ m}^3$$

\* mélange pour 100kg de latérite pure :

- 20 kg de sable

- 22,26 kg d'eau

- 7,2 kg de ciment

On a donc un poids total de 149,46 kg de géobéton frais avec comme pourcentage de ciment 4,817% (poids de l'eau inclus).

$$1 \text{ m}^3 \text{ de géobéton frais pèse : } \frac{149,46}{5,3 \times 10^{-3}} = 2086,8 \text{ kg}$$

$$\text{Poids de ciment contenu dans } 1 \text{ m}^3 \text{ de géobéton} = 100,52 \text{ kg de ciment/m}^3$$

\* le nombre de brique creuse par sac de ciment:

poids d'une brique creuse humide = 15kg

volume d'une brique creuse =  $9,25 \times 10^{-3} \text{ m}^3$

en supposant une teneur en ciment d'environ 4,82 %

On a donc  $15 \times 0,0482 = 0,723$  kg de ciment par brique.

ce qui équivaut  $\frac{50}{0,723} = 69,156$  briques

$\approx 69$  briques / pac de ciment

on a aussi 108 briques/ $m^3$

## CONTRAINTE - DÉFORMATION

### Exemple de calcul:

les essais sont réalisés avec une presse Tinius Olsen Super "L" PT, Willow Grove PA, U.S.A.

Les charges ont pour unité des KN et les déformations des mm.

Les caractéristiques géométriques d'un cylindre standard sont les suivantes:

- diamètre = 15 cm
- section =  $176,71 \text{ cm}^2$
- hauteur = 30 cm

La contrainte est donnée par la relation suivante :

$$\sigma (\text{daN/cm}^2) = \frac{\text{charge (daN)}}{\text{Section (cm}^2)}$$

La déformation unitaire étant calculée de la façon suivante :

$$\epsilon (10^{-4}) = \frac{\text{déformation (10}^{-3} \text{ mm)}}{\text{hauteur (dm)}}$$

TABLEAU A8 : Contrainte - Déformation

## *Essais de compression sur cylindres standards*

N° ech.	1	2	3	4
Energie de compactage	0 MPa		3 MPa	
	$\sigma$ $\text{daN/cm}^2$	$E \times 10^4$	$\sigma$ $\text{daN/cm}^2$	$E \times 10^4$
1,13	4,17	0,57	0,00	0,57
5,66	39,67	2,83	19,67	1,13
8,69	61,33	4,53	29,53	2,26
10,38	92,5	5,66	36,62	2,93
		6,22	40,67	3,96
		6,79	44,67	4,53
		7,36	49,00	5,66
		7,98	54,33	6,22
		8,49	61,00	7,36
		9,05	78,93	7,92
		7,98	102,33	9,05
		6,79	117,33	9,62
		5,66	127,33	10,75
		4,53	137,33	11,32
				12,45
				13,02
				14,15
				14,71
				15,84
				16,41
				17,54
				18,71
				18,84
				14,71
				12,45
				11,32

TABLEAU A 9 : Contrainte - Déformation

Essais de compression sur cylindres standards

N° ech	5	6	7	8
Energie de compact.	1,5 MPa			
	$\sigma$ daN/cm <sup>2</sup>	$\sigma \times 10^4$	$\sigma$ daN/cm <sup>2</sup>	$\sigma \times 10^4$
	0,57	0,00	0,57	0,00
	1,73	14,00	1,13	5,00
	1,70	19,00	1,70	13,33
	2,26	24,00	2,26	19,00
	2,83	27,33	2,83	24,67
	3,40	30,67	3,40	29,00
	3,96	34,00	3,96	34,00
	4,53	37,33	4,53	37,33
	5,09	39,00	5,09	41,33
	5,66	40,67	5,66	44,00
	6,22	44,00	6,22	46,67
	6,79	45,67	6,79	50,00
	7,36	47,33	7,36	53,00
	7,92	49,00	7,92	56,00
	8,49	50,67	8,49	58,67
	9,05	54,00	9,05	61,67
	9,62	55,67	9,62	63,33
	10,19	57,67	10,19	67,33
	10,75	60,67	10,75	71,67
	11,32	63,67	11,32	76,67
	11,88	67,33	11,88	82,67
	12,45	70,67	11,32	105,00
	12,90	-	10,19	116,67
	11,32	100,67	9,05	128,33
	10,19	112,33	7,92	136,67
	7,92	120,67	6,79	150,00

TABLEAU A 10 : Contrainte - Déformation

Essais de compression sur cylindres standards

N° ech	9		10		11		12	
	Energie de compactage		0 MPa		3 MPa		1,5 MPa	
	$\sigma$ daN/cm <sup>2</sup>	$\epsilon \times 10^4$						
	0,57	0,00	0,57	0,00	0,57	0,00	0,57	0,00
	1,73	2,33	1,13	12,33	1,13	4,33	1,13	26,33
	1,70	5,67	1,70	17,33	1,70	12,00	1,70	37,00
	2,86	12,33	2,86	22,33	2,26	19,33	2,26	42,00
	2,83	18,33	2,83	29,00	2,83	28,33	2,83	48,00
	3,40	24,00	3,40	34,00	3,40	32,67	3,40	54,33
	3,96	32,33	3,96	43,00	3,96	39,33	3,96	56,33
	4,53	39,00	4,53	68,33	4,53	45,33	4,53	59,00
	5,09	53,00	3,96	92,33	5,09	51,00	5,09	62,33
	5,32	61,00	3,40	109,00	5,66	56,67	5,66	66,33
	5,09	83,00	2,83	122,33	6,22	64,33	6,22	69,67
	4,53	99,67	2,26	139,00	6,79	76,00	6,79	72,00
	3,96	113,00	1,70	162,33	7,36	90,00	7,36	74,67
	3,40	126,67			5,66	126,00	7,92	78,00
	2,83	136,93			5,09	132,67	8,49	81,33
					4,53	139,33	9,05	84,67
					3,96	150,00	9,68	88,00
							10,19	93,00
							10,75	98,00
							11,20	—
							10,19	133,00
							9,05	143,00
							7,92	154,67
							6,79	161,33
							5,66	171,33

TABLEAU A II : Contrainte - Déformation

Essais de compression sur cylindres standards

N° ech	13		14		15		16	
	Energie de compactage 3 MPa		1,5 MPa		0 MPa			
	$\sigma$ daN/cm <sup>2</sup>	$\epsilon \times 10^4$						
	0,57	0,00	0,57	0,00	0,57	0,00	0,57	0,00
	1,13	3,67	1,13	13,33	1,13	18,00	1,13	3,33
	1,70	6,00	1,70	23,33	1,70	26,33	1,70	6,67
	2,26	8,33	2,26	30,00	2,26	34,67	2,26	11,67
	2,83	11,00	2,83	35,00	2,83	36,67	2,83	15,00
	3,40	15,00	3,40	43,33	3,40	43,00	3,40	21,67
	3,96	21,67	3,96	50,00	3,96	48,67	3,96	28,33
	4,53	27,67	4,53	58,33	4,53	56,33	4,53	-
	5,09	32,33	4,87	-	5,09	66,33	3,96	55,00
	5,66	39,00	4,53	63,33	5,32	-	3,60	61,67
	6,22	46,33	3,96	106,67	4,53	113,00	2,83	75,00
	6,79	61,67	3,60	113,63	3,90	100,67	2,26	93,33
	7,02	-	2,83	126,67				
	6,22	98,33						
	5,66	101,67						
	4,53	115,00						
	8,40	131,67						
	2,26	146,67						

TABLEAU A.12 : Contrainte - Déformation

Essais de compression sur cylindres standards

N° ech	17		18		19		20	
	Energie de compactage		1,5 MPa		3 MPa			
	$\sigma$ daN/cm <sup>2</sup>	$\times 10^4$						
	0,57	0,00	0,57	0,00	0,57	0,00	0,57	0,00
	1,13	28,00	1,13	23,33	1,13	6,10	1,13	6,33
	1,70	32,00	1,70	31,67	1,70	9,00	1,70	13,67
	2,26	33,00	2,26	41,00	2,26	14,00	2,26	18,67
	2,83	37,00	2,83	50,67	2,83	21,33	2,83	22,00
	3,40	40,33	3,00	-	3,40	29,00	3,40	25,33
	3,96	45,33	2,83	23,33	3,96	37,33	3,96	28,67
	4,53	49,67	2,26	31,67	4,19	-	4,53	31,00
	5,09	55,33	1,70	107,00			5,09	36,00
	5,66	63,67	1,13	138,33			5,66	36,00
	6,23	97,00					6,23	39,00
	6,80	113,67					6,79	41,00
							7,36	44,33
							7,92	46,33
							8,49	49,00
							9,05	52,33
							9,62	56,00
							10,19	62,00
							10,64	-
							9,05	103,67
							7,92	127,00
							6,79	153,67

Courbes Resistance - Pression

TABLEAU A.13: Influence de l'immersion et de la pression

N° Echantillons	Contrainte moyenne	Pression	Caractéristiques
9 - 10	0,493	0	immergé
7 - 8 - 14	0,528	1,5	immergé
11 - 13	0,719	3,0	immergé
1 - 2	0,967	0	non-immergé
5 - 6 - 12	1,200	1,5	non-immergé
3 - 4	1,755	3,0	non-immergé

\* les contraintes et les pressions sont en MPa

TABLEAU A.14: Influence du sable et de la pression

N° Echantillon	Contrainte moyenne	Pression	Caractéristiques
15	0,532	0	sans pâle
17	0,566	1,5	sans pâle
20	1,064	3,0	sans pâle
1 - 8	0,967	0	avec pâle
5 - 6 - 12	1,200	1,5	avec pâle
3 - 4	1,755	3,0	avec pâle

Courbe Resistance - Densité

TABLEAU A 15 : Influence de la densité

N° échantillon	Résistance moyenne	Densité moyenne	% de pasé	Energie de compactage
1 - 2	1,935	0,967	20	0
12 - 5 - 6	1,958	1,199	20	1,5
3 - 4	2,025	1,755	20	3,0
15	1,785	0,532	0	0
17	1,792	0,566	0	1,5
20	1,881	1,066	0	3,0

Tableau A. 16 : influence de la température en eau de compactage

Propriétés	Commentaires	Appréciations	
<b>STRUCTURE</b> arrangement des particules	côté sec TE < TEO - structure désordonnée (flocculée)	côté humide TE > TEO - structure organisée (dispersée)	sec      TEO      humide +          +          -
<b>PERMEABILITÉ</b>	- plus de gonflement - plus d'absorption - plus perméable	- moins de gonflement - moins d'absorption - moins perméable	-          +          + -          +          +
<b>COMPRESSIBILITÉ</b>	- perméabilité variant beaucoup avec la compacité - plus compressible aux fortes pressions	- perméabilité variant peu avec la compacité - plus compressible aux faibles pressions	-          +          + -          +          -
<b>RESISTANCE</b> - immédiate après démolage - finale	- plus élevée - moins élevée que pour la T.E.O.	- moins élevée - moins élevée que pour la T.E.O.	+          -          - -          +          -
<b>DENSITE</b>	- moins élevée que pour la T.E.O.	- moins élevée que pour la T.E.O.	-          +          -
<b>MODE DE COMPACTAGE</b>	- Le compactage à la presse ou avec dame pneumatique donne de meilleures résistances finales que le compactage type Proctor avec une dame à main.		

## BIBLIOGRAPHIE

## BIBLIOGRAPHIE

1. ADAUA-SOCOGIM, Rapport technique sur les études des matériaux locaux  
Nov 1977
2. ASTM STANDARDS, concrete and mineral aggregates, Manual of concrete Testing Part 10, Nov 1971
3. BILLINGTON DAVID.P, thin shell concrete structures  
Mc Graw-Hill Book company, 1965
4. CENTRE DE RECHERCHES ROUTIÈRES, code de bonne pratique pour la stabilisation du sol au ciment
5. CRATERRE (le), constitue en tane, éditions alternative et parallèle
6. F.E.D, étude de chaussées économiques en Afrique Editions du FED
7. GALDI. PASCAL, l'habitat rural au Sénégal  
Ministère de l'enseignement supérieur
8. GRESILLON; Jean Michel, ETUDE SUR LA STABILISATION ET LA COMPRESSION DES TANES POUR LEUR UTILISATION DANS LA CONSTRUCTION (Annales de l'IBTP N°49 Mai 1976)

9. GRESILLON-JEAN MICHEL, étude de l'aptitude  
des sols à la plasticisation au  
ciment Application à la cons-  
truction
10. UNESCO, Vers une meilleure utilisation des  
ressources locales en construction, centre  
de formation agricole à Nianning  
Senegal 1978
11. LBTP-Côte d'Ivoire, Recommandations  
pour la conception et l'exécution  
de bâtiments économiques en Géobeton
12. MORIN FERNAND, Notes de cours mécanique  
du sol EPT 1982
13. THIAM (El Hadjer Mamadou) DIAGNE  
La terre matériau de construction  
Phase 1
14. SOUMA - DIAKHITE " " " " Phase 2
15. FALL-GUETTE " " " " Phase 3
16. FLÜGGE WILHELM, statique et dynamique  
des coques